

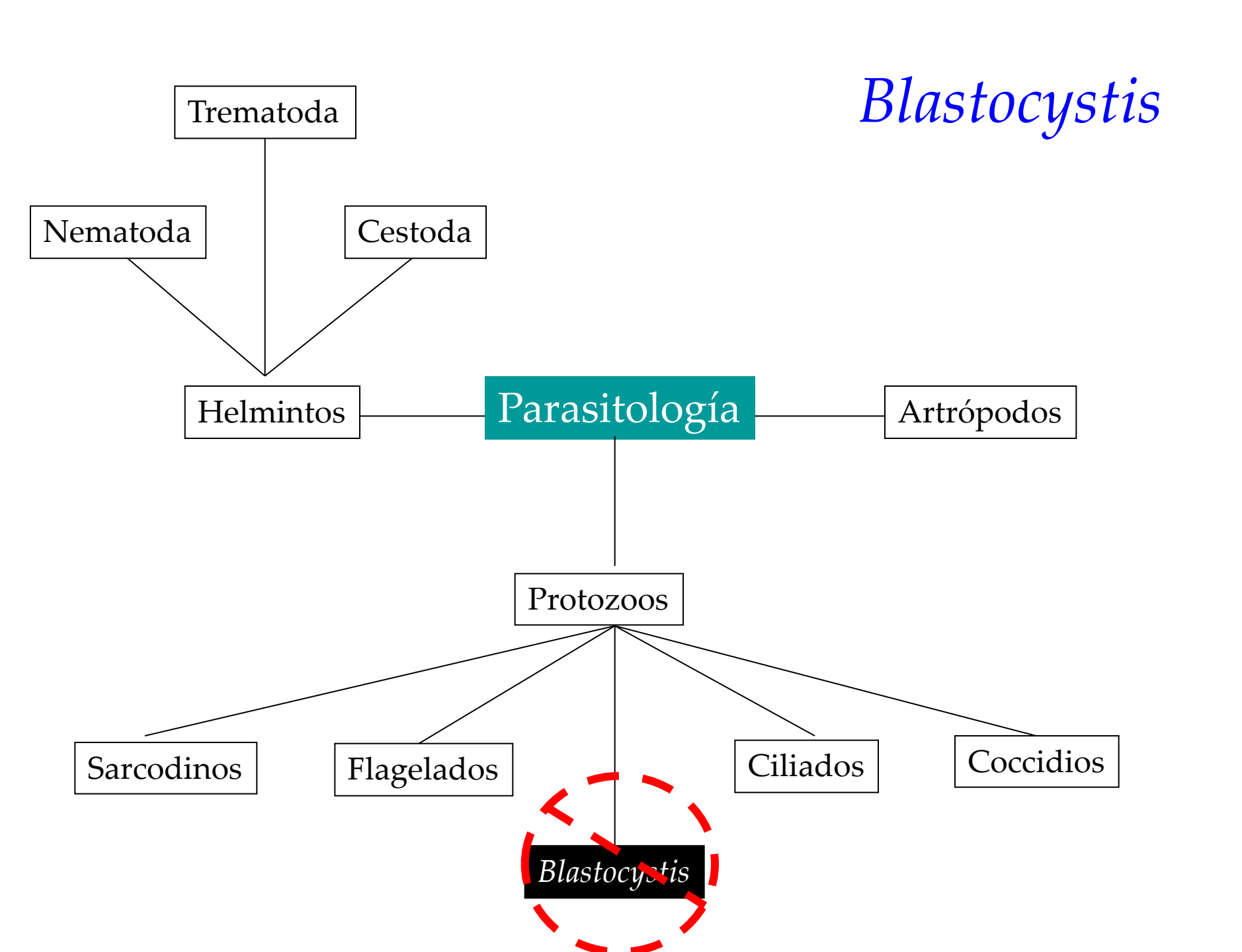
Carrera Laboratorio Clínico Facultad de Ciencias de la Salud Universidad Nacional de Chimborazo Riobamba-Ecuador



Unidad I

Blastocystis Balantidium coli Microsporidios

Prof. Luisa Carolina González



Taxonomía:

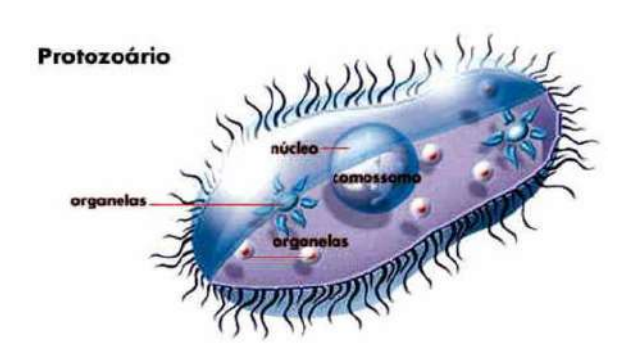
Reino Protista (Whittaker, 1969)

- Eucariontes más simples
- Constituido por

Protozoos

Algas

Mohos mucilaginosos





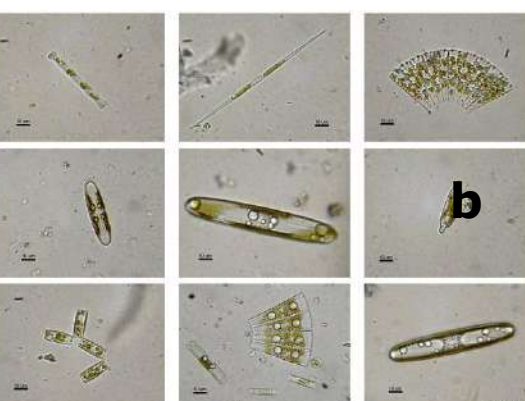


Taxonomía:

Reino Chromista (Cavalier-Smith, 1998)

- a) Algas pardas, verde-amarillas y doradas
- b) Diatomeas
- c) Oomicetos
- d) Otros relacionados (Género Blastocystis)









Historia

¿Por qué *Blastocystis* sp. se consideró un protozoo?

- Microorganismo eucariota: núcleos con nucléolo
- Membrana celular con poros y vesículas
- Mitocondrias, aparato de Golgi, retículo endoplásmico liso y rugoso
- Emite pseudópodos
- Se reproduce por división binaria, esquizogonia o esporulación



Pero... ¿ la información genética del parásito?

Taxonomía

Taxonomía de *Blastocystis* (Tan, 2008)

Reino Chromista

Subreino Chromobiota

Infrareino Stramenopiles

Superfilo Grystan

Filo Bigyra

Subfilo Opalinata

Clase Blastocystea

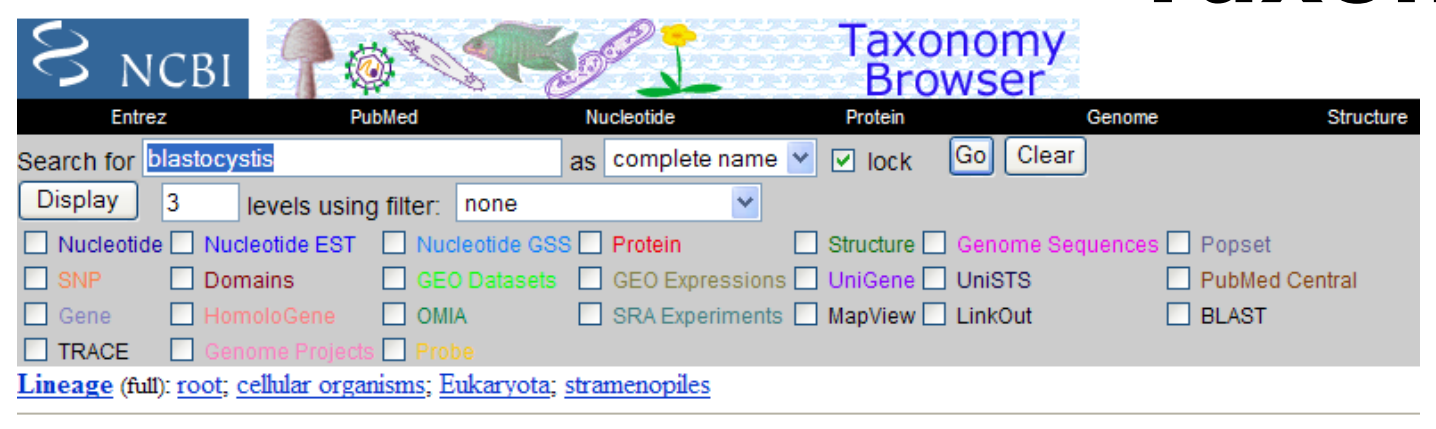
Género Blastocystis

Especie hominis

Kevin S. W. Tan BSc (Hons), PhD, CBiol, MIBiol Assistant Professor, Laboratory of Molecular and Cellular Parasitology Director, National Malaria Reference Centre NUS Graduate School for Integrative Sciences and Engineering National University of Singapore



Taxonomía



- Blastocystis Click on organism name to get more information.
 - Blastocystis cycluri
 - Blastocystis geocheloni
 - Blastocystis hominis
 - Blastocystis lapemi
 - Blastocystis pythoni
 - Blastocystis ratti
 - o Blastocystis sp. subtypes
 - o Blastocystis sp. mixed subtypes
 - Blastocystis sp. DM14
 - Blastocystis sp. DM15
 - Blastocystis sp. DM20
 - Blastocystis sp. DM25
 - o Blastocystis sp. subtype 1
 - Blastocystis sp. DM4
 - Blastocystis sp. DM8
 - Blastocystis sp. DM4
 - Blastocystis sp. DM8
 - Blastocystis sp. H-10
 - Blastocystis sp. H-14
 - Blastocystis sp. H-33
 - Blastocystis sp. H-42
 - Blastocystis sp. H-5
 - Blastocystis sp. PR-1

Clasificación en subtipos (ST):

17 ST

1-9 ST afectan más a humanos

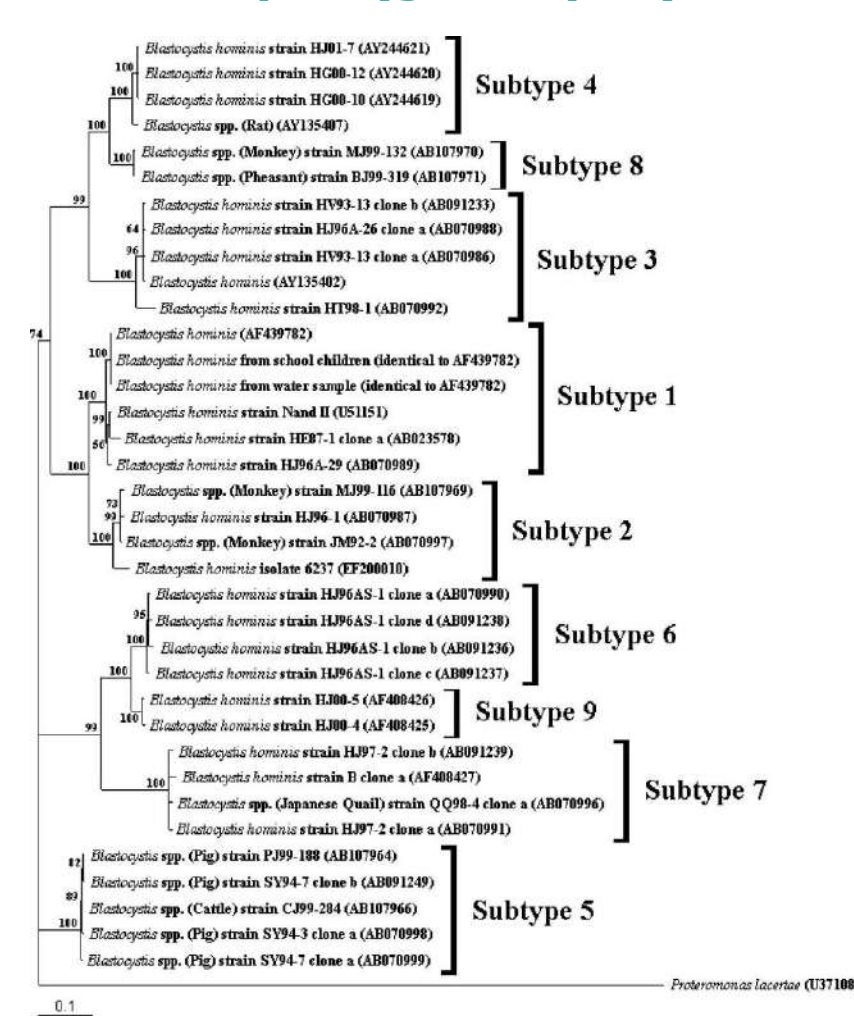
Elevada diversidad genética

Taxonomía

Los miembros del género *Blastocystis* muestran una elevada diversidad genética y antigénica y muestran poca especificidad por el hospedador.

La designación de *Blastocystis hominis* no es apropiada por lo que se recomienda que sea reportado como *Blastocystis* sp.

17 subtipos (genotipos)



Propuesta





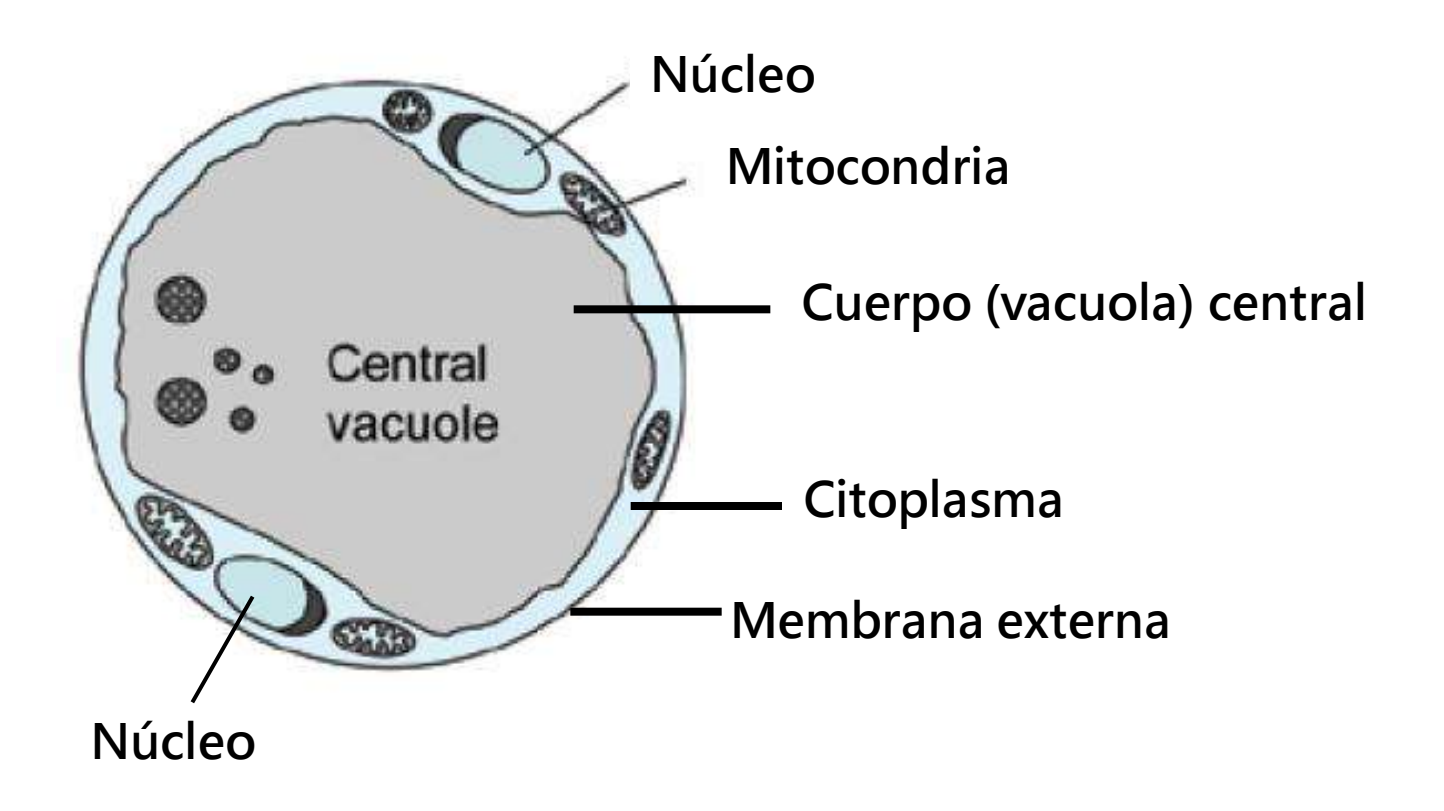
- B. hominis,
- B. ratti,
- B. cycluri,
- B. geocheloni,
- B. lapemi,
- B. pythoni



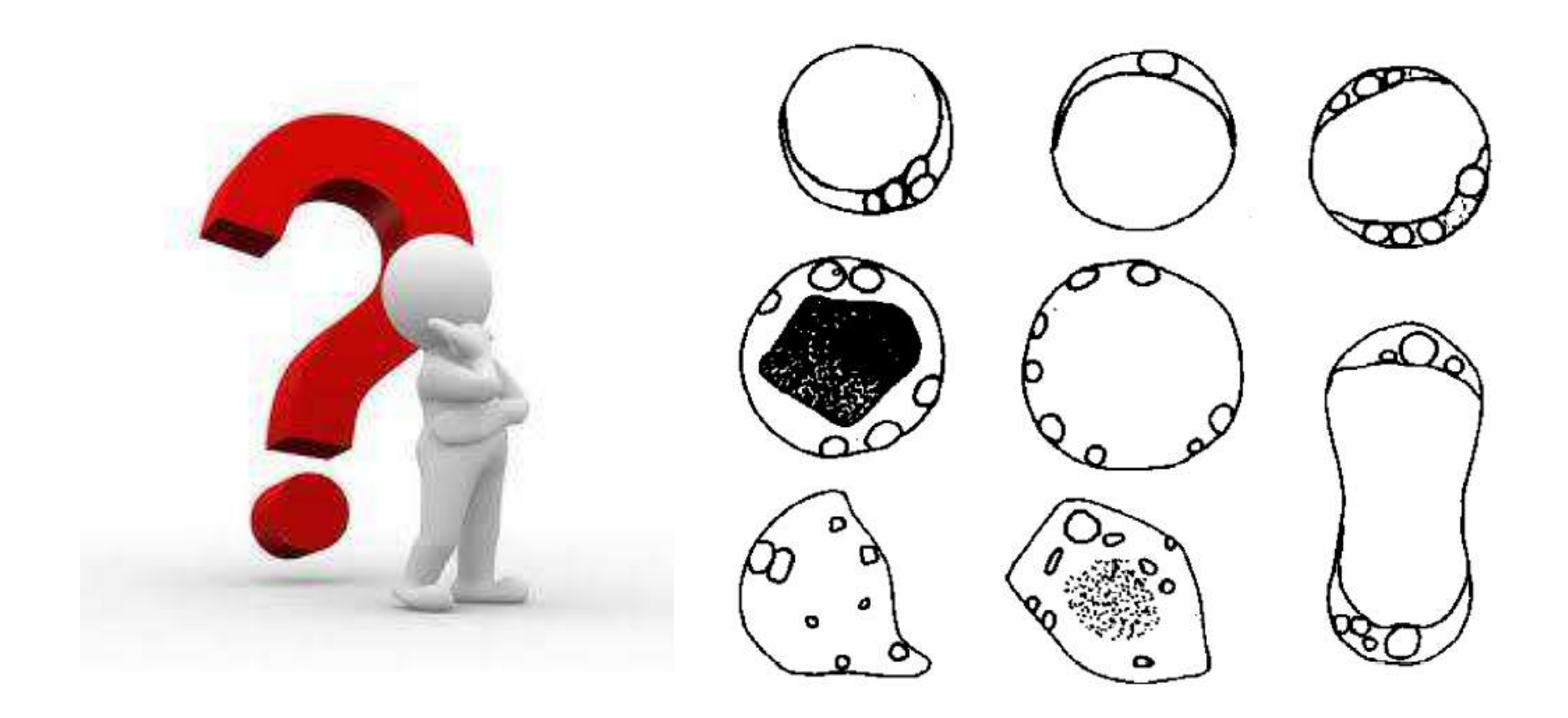


En la muestra analizada se observaron morfotipos de cuerpo central, granulosos, globulosos, en división, en *cluster* y de resistencia de *Blastocystis* sp.





Tamaño: varia según la forma y el subtipo de parásito



Problema para el Diagnóstico:

- . Pleomorfismo
- . Variabilidad de tamaño

Morfotipos

Forma de cuerpo central (vacuolar):

- . 6 a 15 um de diámetro
- . Forma esférica
- . Presentan una vacuola central y el citoplasma en forma de anillo periférico.
- . 4 núcleos en la periferia



Forma granular:

- . 3 a 80 um de diámetro
- . Presentan gránulos en la vacuola y en el citoplasma



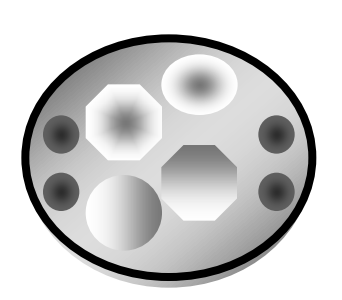
Forma ameboide:

- . 2,6 a 50 um diámetro
- . Pleomórfica
- . 1 o 2 pseudópodos



Forma multivacuolar:

- . 5 a 8 um de diámetro
- . Rodeada de una cubierta externa gruesa
- . Posee múltiples vacuolas

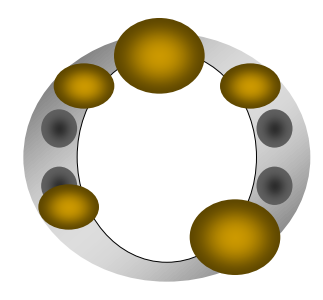


Forma avacuolar:

- . 5 um de diámetro
- . Carece de vacuola central

Forma globular:

- . Tamaño variable
- . Vesículas lipídicas en el citoplasma

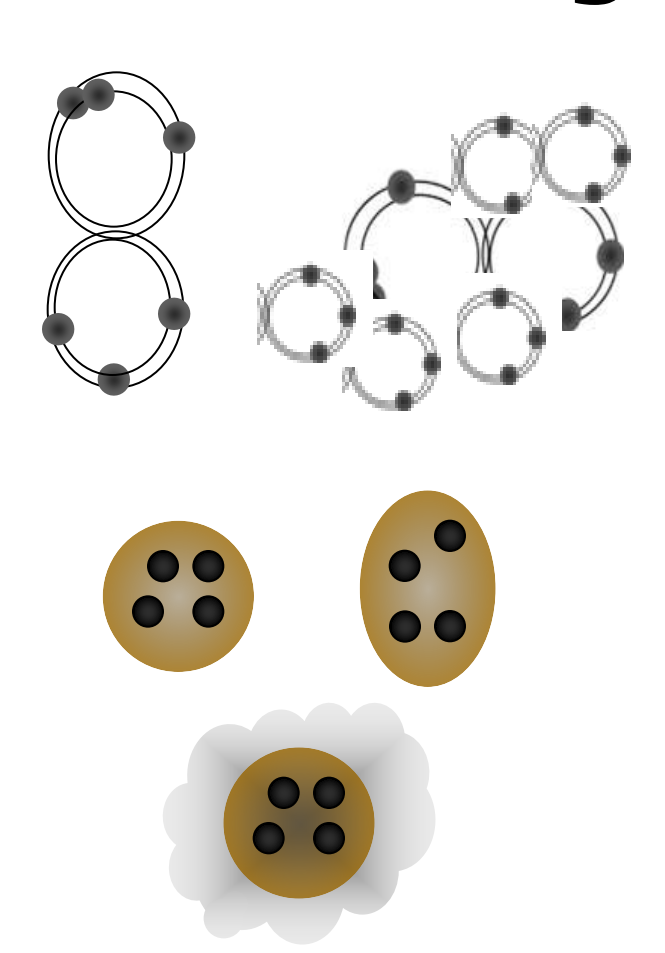


Forma en división

- . Constricción del cuerpo para formar dos células hijas
- . Vacuola con o sin granulaciones División binaria o *cluster*

Forma de resistencia (infectante):

- . 4 a 5 um de diámetro
- . Redondo u oval
- . 1-4 núcleos
- . Forma infectante



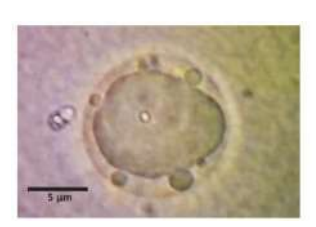
Formas mayormente observadas en muestras de heces: Cuerpo central, granular, fisión binaria, de resistencia

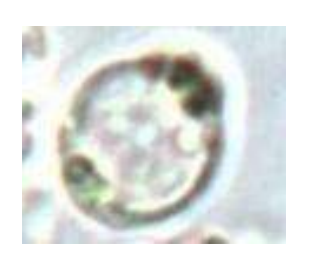
Morfotipos







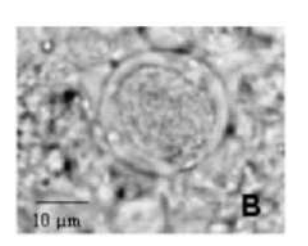




Granulares o granulosos







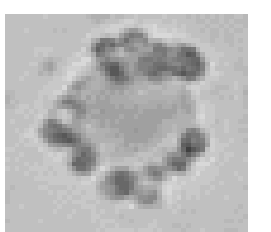


Globulares o globul<u>osos</u>







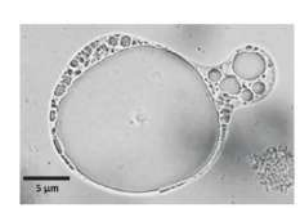


Ameboides









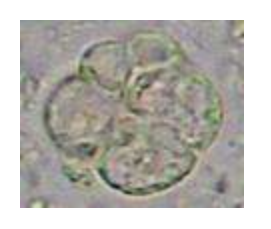
en división

en "cluster"







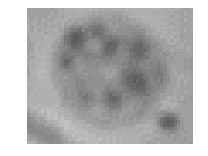


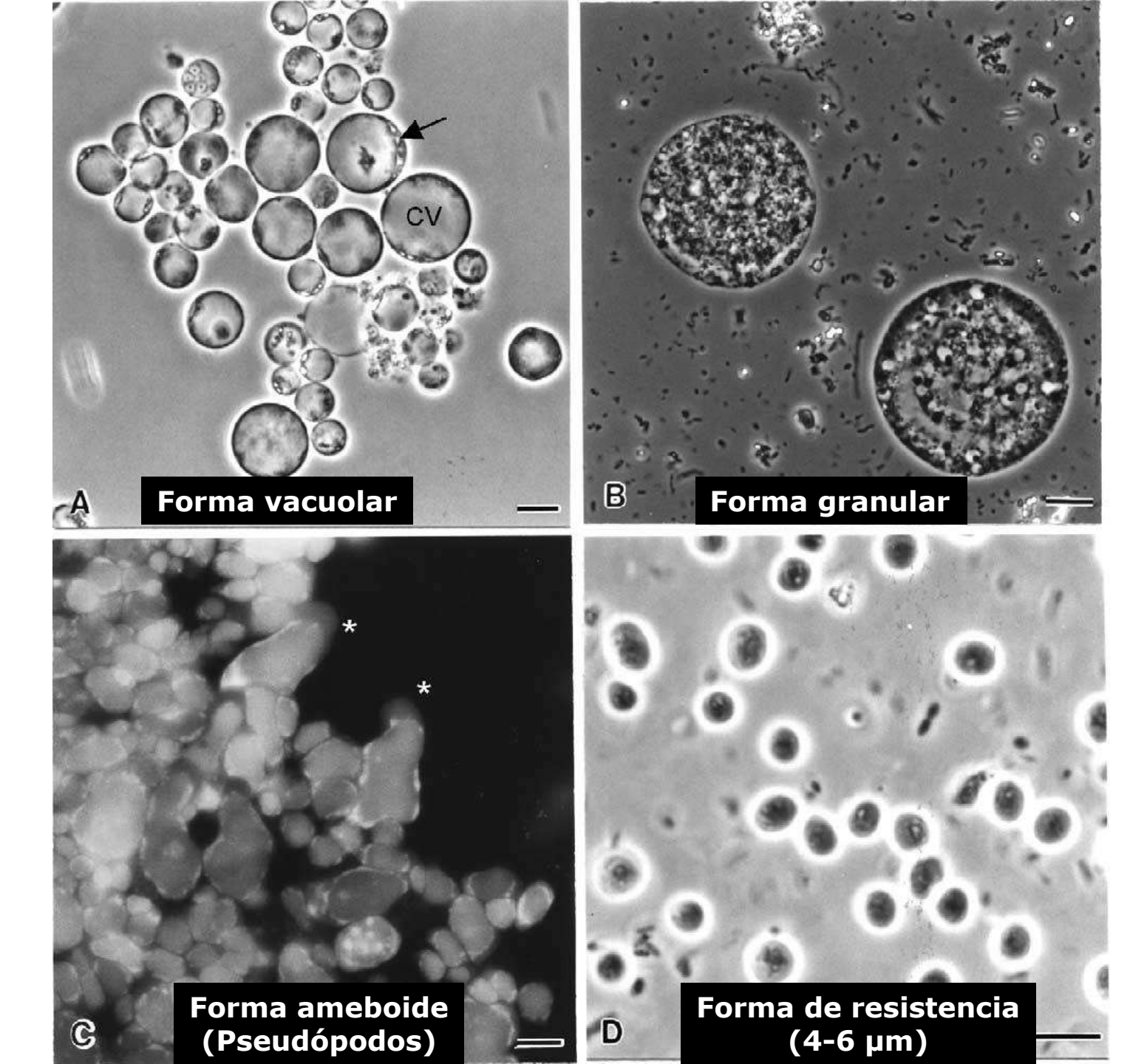
de resistencia











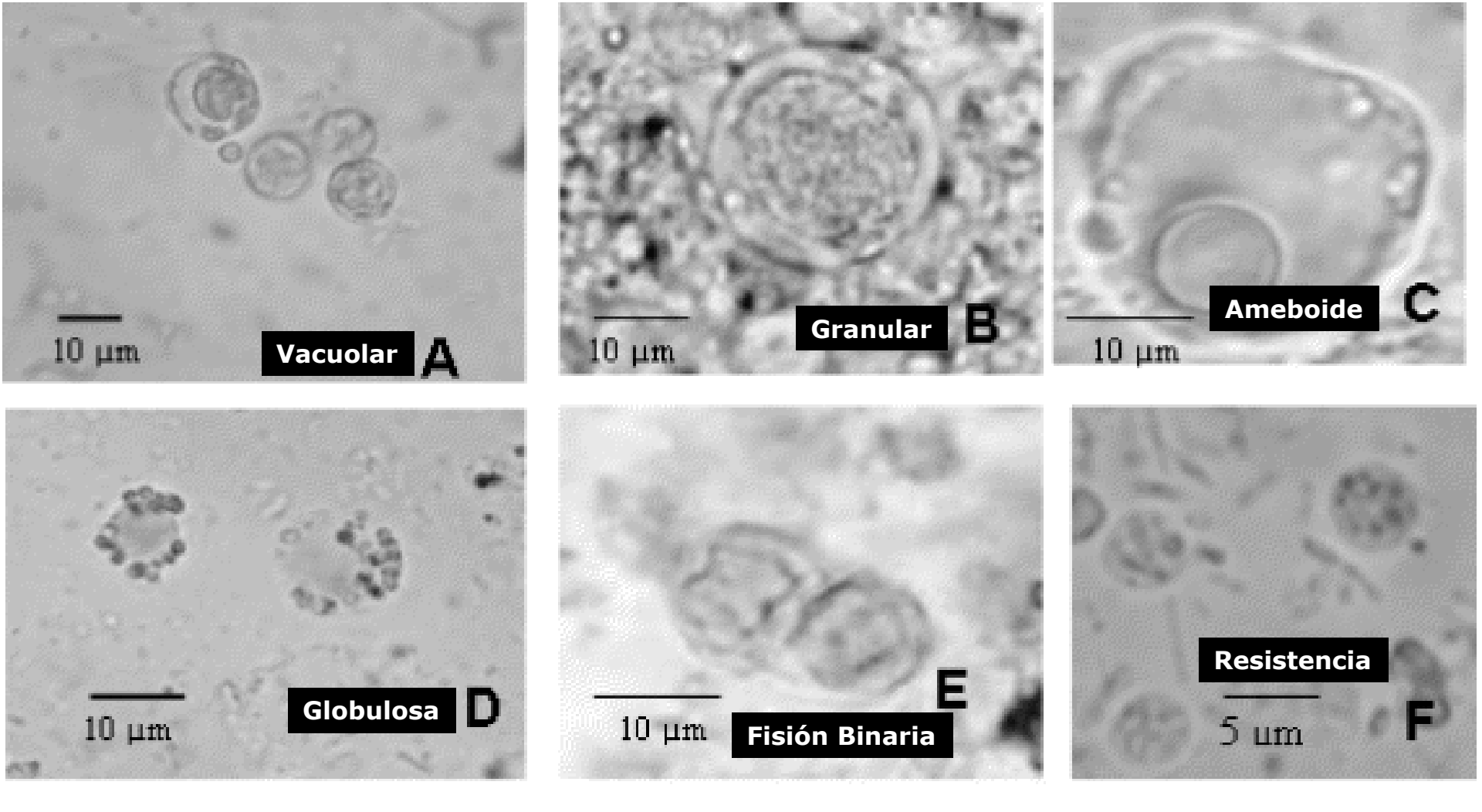
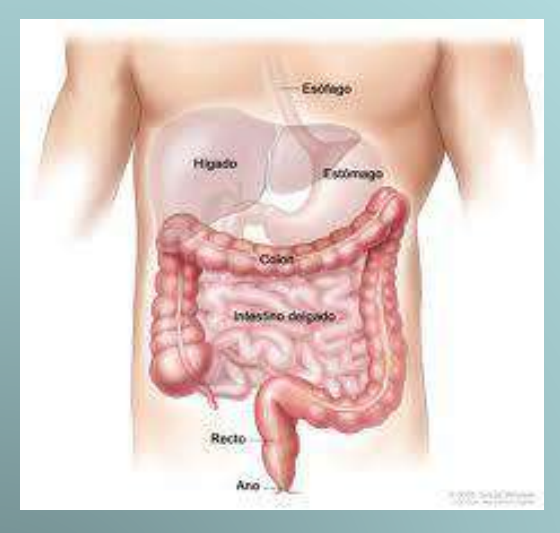


Figura 1. Variantes morfológicas de *B. hominis* observadas en heces de pacientes infectados. A. Formas con cuerpo central (Lugol, 400X). B. Forma granulosa (Lugol, 1000X). C. Forma ameboide. (SS 0,85%, 1000X). D. Formas globulosas (SS 0,85%, 400X). E. División binaria (Lugol, 400X). F. Quistes (Lugol, 1000X).

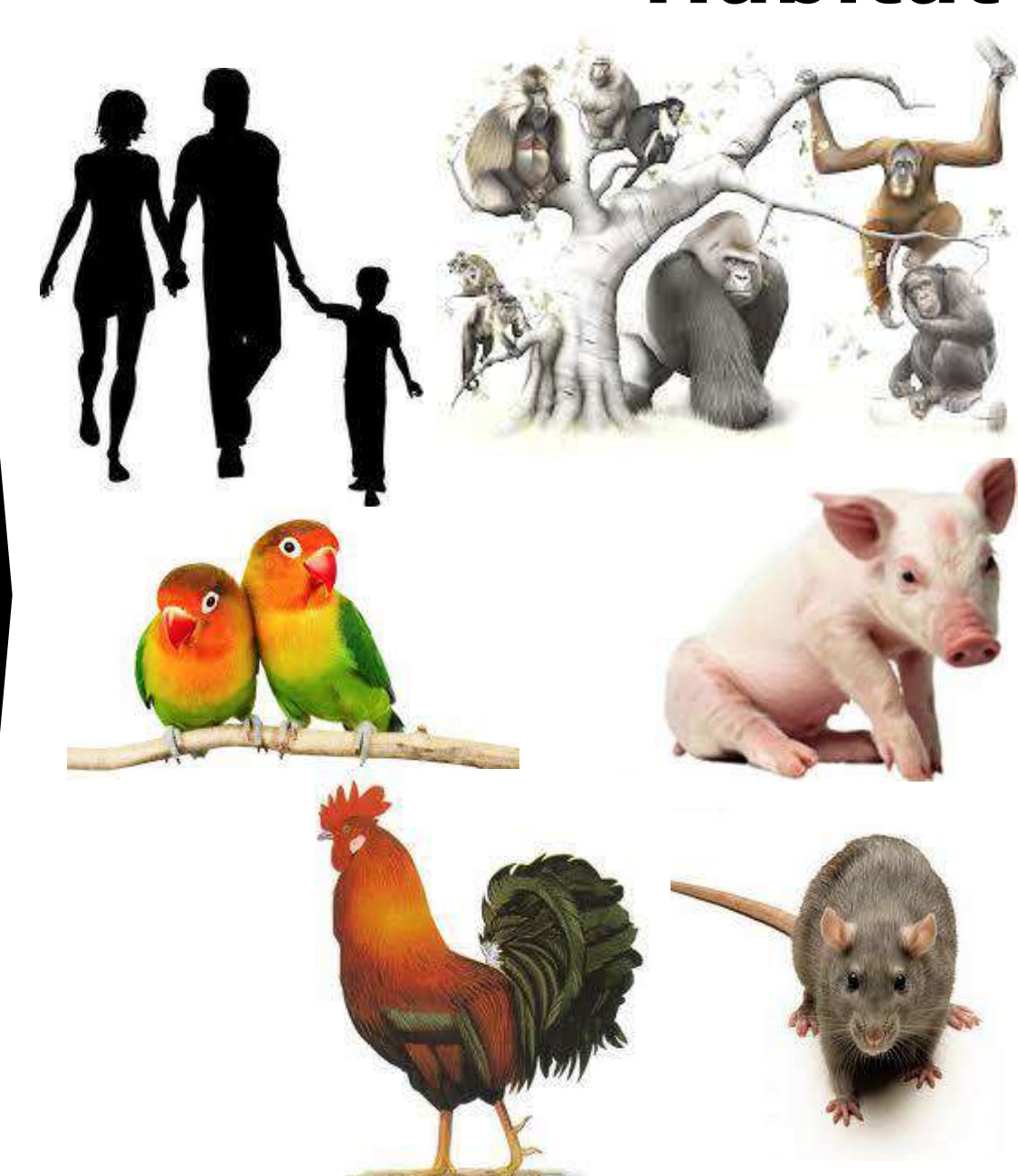
Reporte: estadíos morfológicos (granuloso, cuerpo central, globuloso) y Formas de resistencia de *Blastocystis* sp.

Hábitat

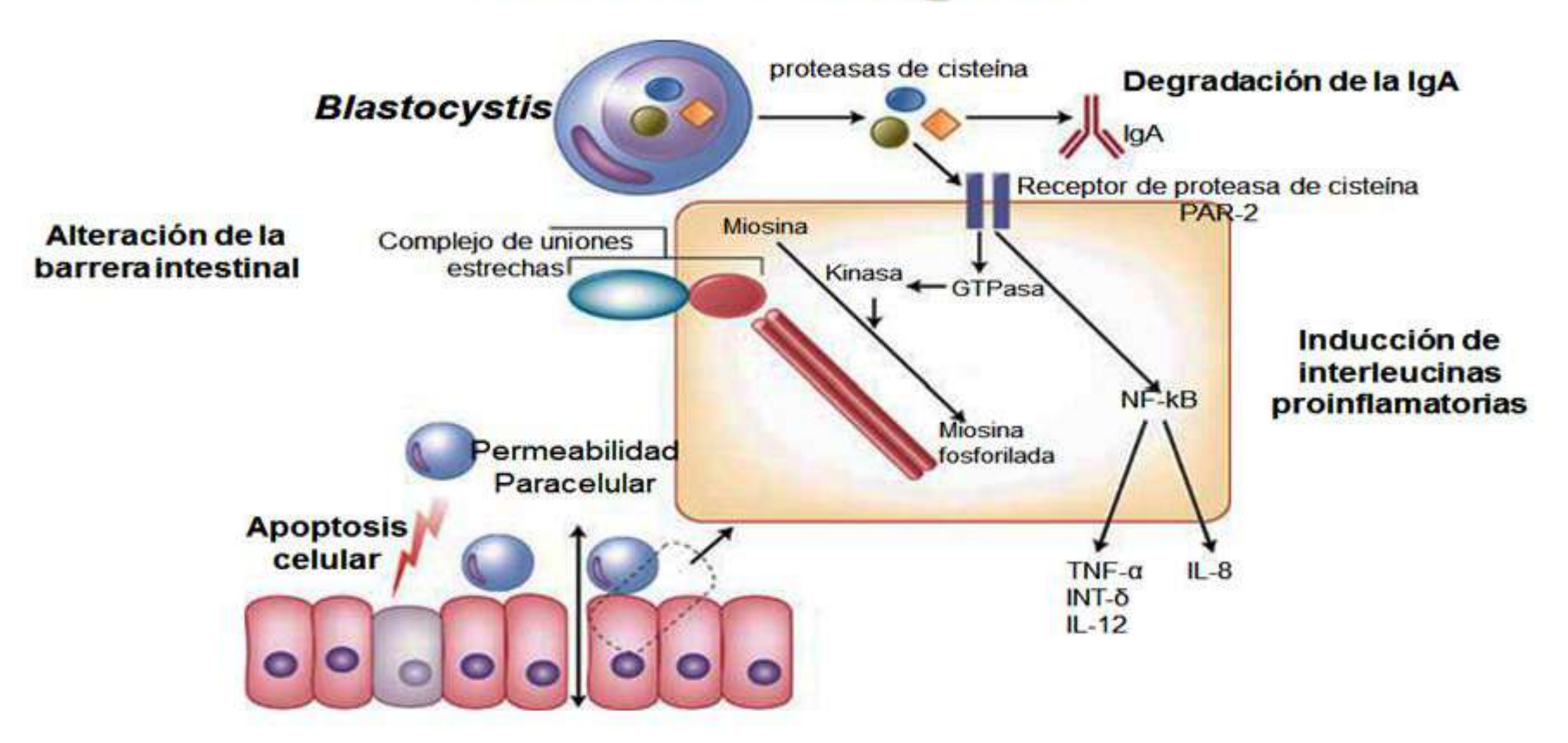


Hospedadores

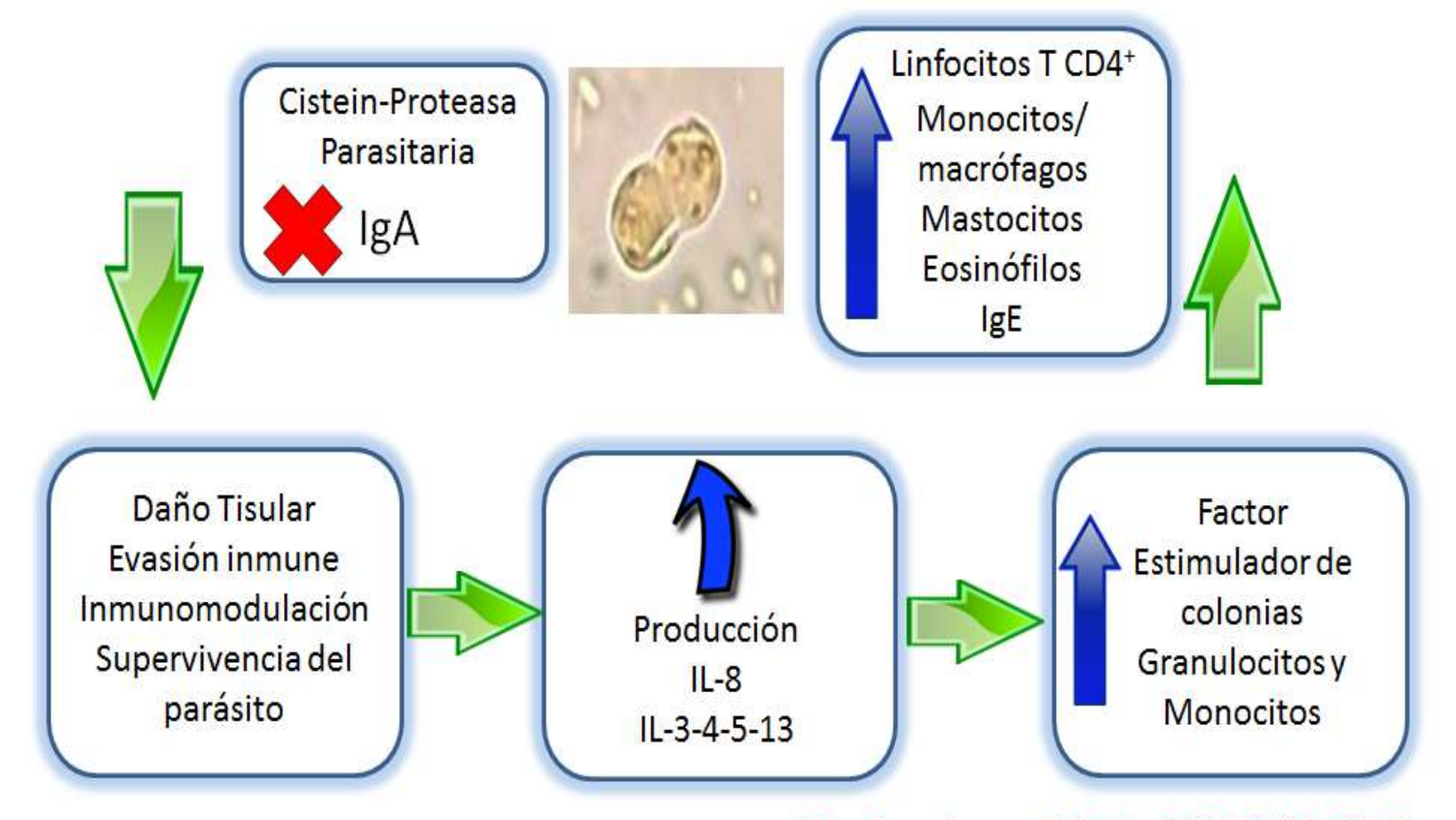
Intestino grueso



Acción Patógena



Bol Venez Infectol. 2017; 28 (1): 5-14 Rev Argent Microbiol. 2017;49(1):110--118



Alerg Asma Inmunol Peditr. 2016; 25(3): 78-83 Rev Gatroenterol Peru. 2017; 27(2): 78-83

Acción Patógena

La infección humana con *Blastocystis* se denomina blastocistosis

Blastocystis no invade el tejido del hospedador, aunque induce:

- ✓ Reacción inflamatoria
- ✓ Edema de la lámina propia
- ✓ Desprendimiento de la mucosa del intestino grueso (Moe y col., 1997)

Mecanismos dentro del hospedador:

- ✓ Degradación de la IgA secretora
- ✓ Apoptosis de enterocitos
- ✓ Inducción de citoquinas pro-inflamatorias (IL-8)



La virulencia de *Blastocystis* ha sido asociada a la cantidad de cisteín-proteasas y al tamaño de los parásitos (Mirza and Tan, 2008).

Clínica

Cuadro clínico:

- ✓ Diarrea
- ✓ Dolor abdominal
- ✓ Constipación
- √Náusea
- ✓ Vómito
- ✓ Flatulencia
- ✓ Distensión abdominal
- **✓** Colitis

Otros menos frecuentes:

- ✓ Prurito anal
- ✓ Urticaria
- ✓ Pérdida de peso

(Stenzel y Boreham, 1996)







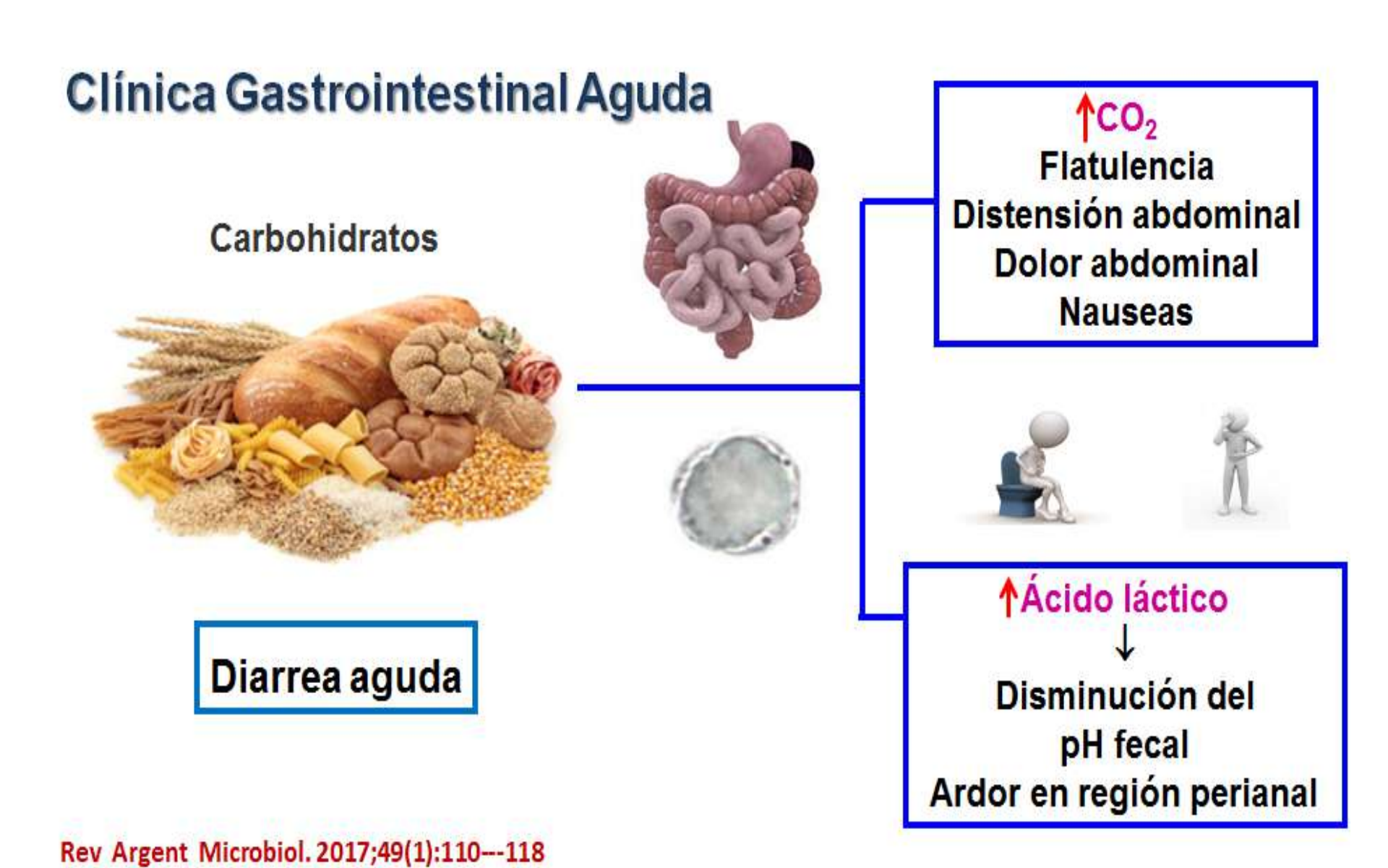
Clínica

Clínica gastrointestinal crónica: estreñimiento, flatulencias, distención abdominal, diarreas intermitentes

Mucucutáneo-mucosa: urticaria crónica y prurito palmo plantar

Musculo esquelética: artritis infecciosa

Otras: anorexia, fatiga

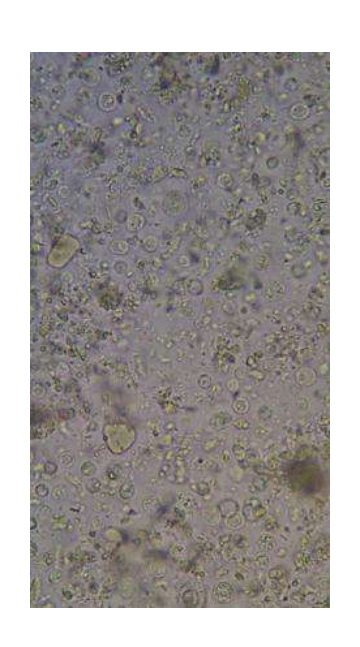


J Microbiol Immunol Infect 2008;41:222-226

Criterios para considerar la patogenicidad de Blastocystis en pacientes enfermos

1) Cantidad de parásitos≥ 5 parásitos por campo (400X)

Este es un criterio obsoleto, se ha encontrado que el número de parásitos <u>no siempre</u> guarda relación con la sintomatología de los pacientes.



2) Morfotipos

Las formas ameboides, globulosas y en división en la muestra fecal (Doyle y col., 1990)







Clínica

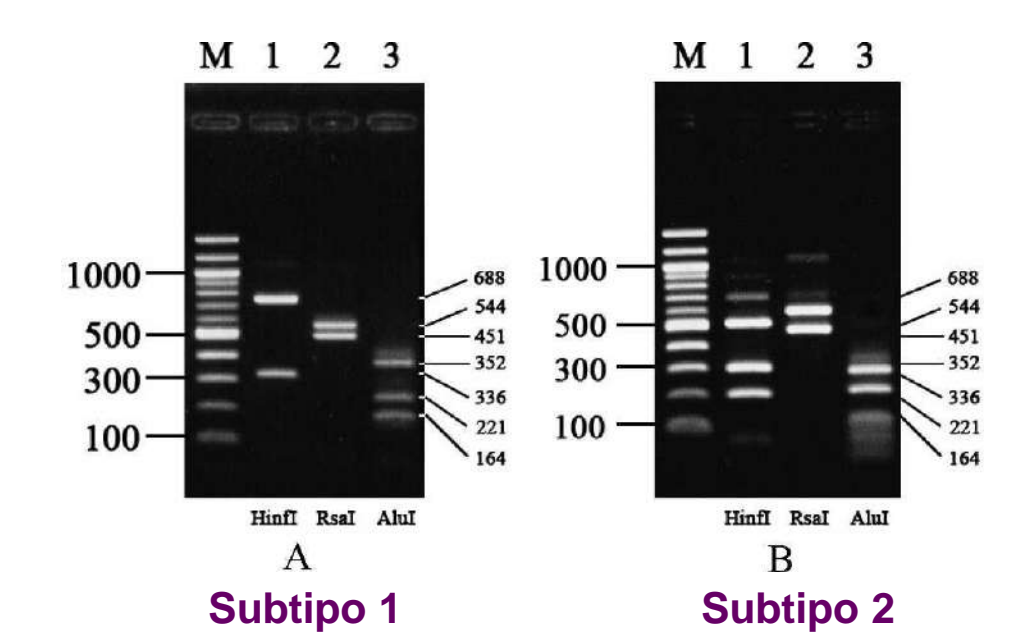
3) El subtipo de *Blastocystis* sp.

Estudios a nivel molecular sugieren que el papel patógeno de *Blastocystis* sp. depende del subtipo

Subtipos 1, 4 y 7: Patógenos

Subtipos 2 y 3: Comensales

(Eroglu y col., 2009)



(Leelayoova y col., 2009)

Clasificación en subtipos (ST):

2009: 9 ST

2013: 8 nuevos ST

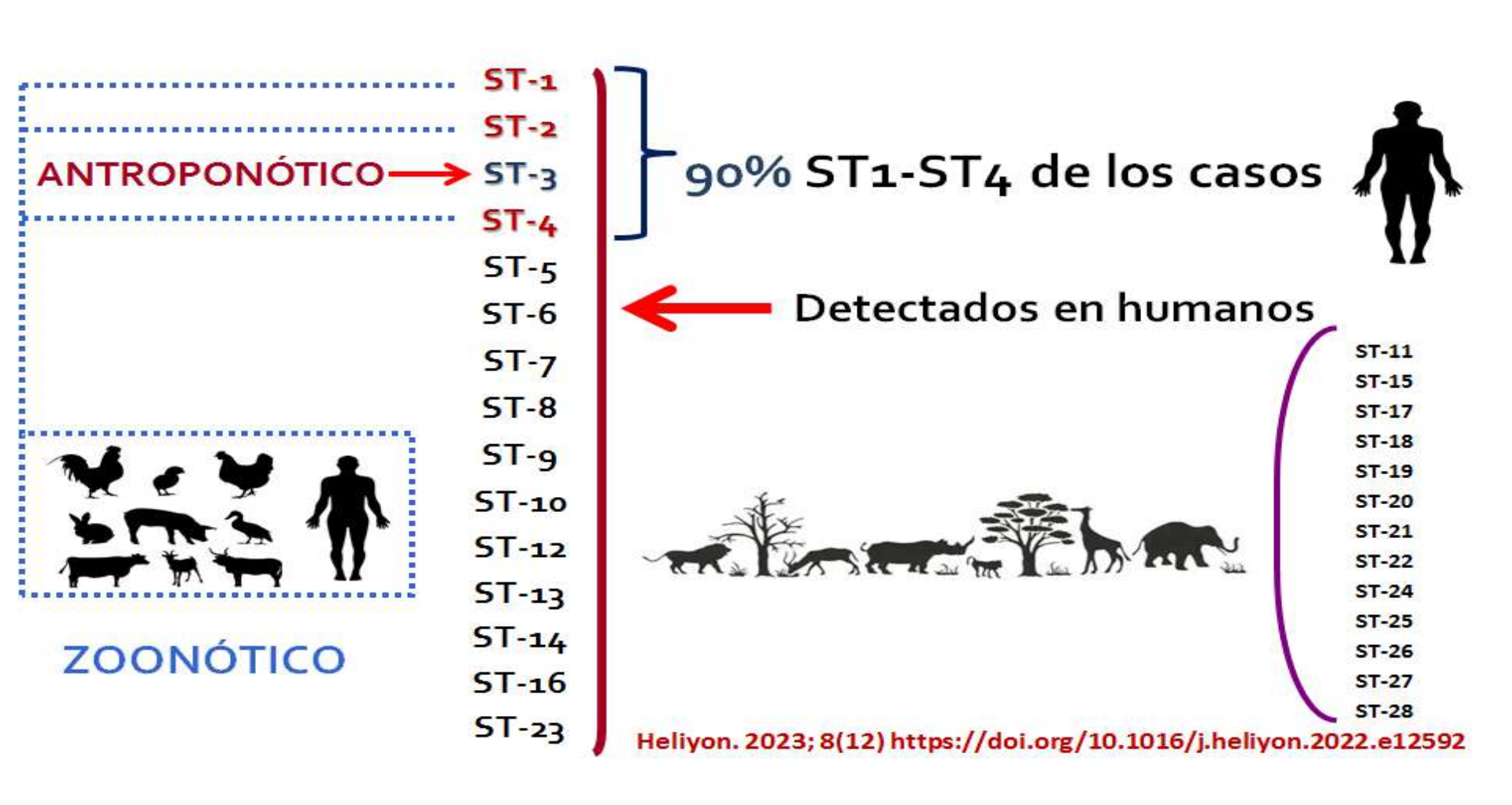
2017: 19 ST

2023: 28 ST

Quince (15) subtipos detectados en humanos

Heliyon. 2023; 8(12) https://doi.org/10.1016/j.heliyon.2022.e12592 Bol Venez Infectol . 2017; (1): 5-14

15 Subtipos detectados en humanos



ENFERMEDADES ASOCIADAS

Subtipo 3 (ST3) han asociado con:

- Síndrome del intestino irritable (SII)
- Enfermedad de Crohn
- Colitis ulcerosa
- Cáncer colorrectal.

Enfermedades alérgicas tales como:

- Urticaria
- Rinitis alérgica
- Angioedema
- Asma.

Parasitol Res. 2023 Jul;122(7):1463-1474.

World J Gastrointest Oncol. 2022; 14(3): 734-745

Alerg Asma Inmunol Peditr. 2016; 25(3): 78-83

Artículo Original

Parasitología

Kasmera 48(2):e48231698, Julio-Diciembre, 2020 ISSN 0075-5222 E-ISSN 2477-9628

https://doi.org/10.5281/zenodo.3938528



Dispersión hídrica de enteroparásitos en una zona agropecuaria de gran altitud, en Los Andes Ecuatorianos

Water dispersion of enteroparasites in a high-altitude agricultural area, in The Ecuadorian Andes

González-Ramírez Luisa C[®] 2^{1,2}, Falconí-Ontaneda Félix A[®]¹, Yaucén-Rodríguez Mishell C[®]³, Romero-Zapata Cristian F[®]³, Parra-Mayorga Paúl[®]³, García-Rios Cecilia A[®]⁴, Prato-Moreno José G[®]^{5,6}

Tabla 1. Distribución de parásitos intestinales en los cuerpos hídricos

Parásitos	Ag	ua Riego		Agua Tubada		Agua ancada	Total			
rarasiios		n= 37	n	= 147	r	ı= 30	r	ı= 214	IC	
	f	%	f	%	f	%	f	%	%	
Chromistas										
Blastocystis spp.	14	37,84	48	32,65	25	83,33	87	40,65	34,1-47,2	
Protozoarios										
Amebas de vida libre	4	10,81	2	1,36	6	20,00	12	5,61	2,5-8,7	
Entamoeba spp.	0	0,00	1	0,68	17	56,67	18	8,41	4,7-12,1	
Giardia duodenalis	3	8,11	4	2,72	7	23,33	14	6,54	3,2-9,9	
Retortamonas spp.	0	0,00	2	1,36	0	0,00	2	0,93	0,0-2,2	
Pentatrichomonas spp.	0	0,00	0	0,00	1	3,33	1	0,47	0,0-1,4	
Balantidium spp.	9	24,32	11	7,48	8	26,67	28	13,08	8,6-17,6	
Cryptosporidium spp.	7	18,92	25	17,01	6	20,00	38	17,76	12,6-22,9	
Cyclospora spp.	2	5,41	8	5,44	2	6,67	12	5,61	2,5-8,7	
Cystoisospora spp.	0	0,00	4	2,72	1	3,33	5	2,34	0,3-4,4	
Eimeria spp.	10	27,03	8	5,44	11	36,67	29	13,55	12,7-41,3	
Total de Protozoarios	37	100,00	84	57,14	30	100,00	151	70,56	64,5-76,7	
Helmintos										
Dibothriocephalus spp.	1	2,70	0	0	0	0	1	0,47	0,0-1,4	
Larvas de nemátodos	17	45,95	1	0,68	10	33,33	28	13,08	8,6-17,6	
Total de Helmintos	17	45,95	1	0,68	10	33,33	28	13,08	8,6-17,6	
Total de Parásitos	37	100,00	84 🤇	57,14	30	100,00	151	70,56	64,5-76,7	

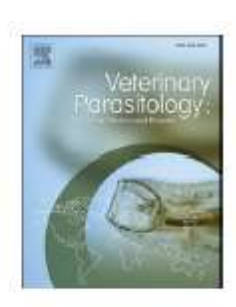
n=número, f= frecuencia, IC= intervalo de confianza



Contents lists available at ScienceDirect

Veterinary Parasitology: Regional Studies and Reports

journal homepage: www.elsevier.com/locate/vprsr



Original Article



Ocurrence of enteroparasites with zoonotic potential in animals of the rural area of San Andres, Chimborazo, Ecuador

Luisa Carolina González-Ramírez^a, Cristian Joao Vázquez^a, Manuel Benjamín Chimbaina^a, Pablo Djabayan-Djibeyan b, José Gregorio Prato-Moreno c, María Trelis d,e,*,

Table 1
Distribution of the frequency parasite excretion according to animal species.

Animals	Total		Protozoa		Helminths		
	np/ns	(%)	np/ns	(%)	np/ns	(%)	
Herbivores							
Cattle	45/45	100	45/45	100	6/45	13.3	
Sheep	18/18	100	16/18	88.9	10/18	55.6	
Horses	23/28	82.1	23/28	82.1	2/28	7.1	
Donkeys	2/4	50.0	2/4	50.0	0/4	0	
Llamas	4/9	44.4	3/9	33.3	4/9	44.4	
Subtotal	92/104	88.5	89/104	85.6	22/104	21.2	
Omnivores							
Pigs	25/26	96.2	25/26	96.2	3/26	11.5	
Subtotal	25/26	96.2	25/26	96.2	3/26	11.5	
Carnivores							
Dogs	72/83	86.7	69/83	83.1	22/83	26.5	
Cats	2/2	100	2/2	100	1/2	50.0	
Subtotal	74/85	87.1	71/85	83.5	23/85	27.1	
Birds							
Chickens	5/7	71.4	5/7	71.4	0/7	0	
Geese	3/3	100	2/3	66.7	2/3	66.7	
Pigeons	2/3	66.7	2/3	66.7	0/3	0	
Subtotal	10/13	76.9	9/13	69.2	2/13	15.4	
Rodents							
Guinea pigs	48/48	100	47/48	97.9	36/48	75.0	
Subtotal	48/48	100	47/48	97.9	36/48	75.0	
Leporidae							
Rabbits	22/24	91.7	21/24	87.5	7/24	29.2	
Subtotal	22/24	91.7	21/24	87.5	7/24	29.2	
Total	271/300	90.3	262/300	87.3	93/300	31.0	

np/ns: number of parasitized animals / number of analyzed animals.

Table 2
Distribution of parasitic species according to animal groups.

Parasites Herbivores		oivores Omnivores (Pigs)		ns = 85		ns = 13		Rodents (Guinea pigs)			Leporidae (Rabbits)	TOTAL		
ns = 104	ns = 26	ns = 48							ns = 24	ns = 300				
	np	(%)	np	(%)	np	(%)	np	(%)	np	(%)	np	(%)	np	(%)
Blastocystis spp.	44	42.3	13	50.0	32	37.6	6	46.2	17	35.4	6	25.0	118	39.3
Entamoeba spp.	51	49.0	17	65.4	33	38.8	3	23.1	26	54.2	4	16.7	134	44.7
Endolimax nana	6	5.8	5	19.2	9	10.6	1	7.7	7	14.6	0	0	28	9.3
Iodamoeba buetschlii	8	7.7	10	38.5	3	3.5	0	0	0	0	0	0	21	7.0
Giardia spp.	12	11.5	5	19.2	5	5.9	0	0	0	0	2	8.3	24	8.0
Enteromonas spp.	0	0	0	0	0	0	0	0	1	2.1	0	0	1	0.3
Retortamonas spp.	0	0	2	7.7	0	0	0	0	1	2.1	0	0	3	1.0
Chilomastix spp.	0	0	0	0	4	4.7	0	0	5	10.4	0	0	9	3.0
Balantidium spp.	6	5.8	5	19.2	1	1.2	0	0	0	0	0	0	12	4.0
Cryptosporidium spp.	6	5.8	2	7.7	5	5.9	2	15.4	4	8.3	2	8.3	21	7.0
Eimeria spp.	68	65.4	7	26.9	13	15.3	5	38.5	31	64.6	12	50.0	136	45.3
PROTOZOA	89	85.6	25	96.2	71	83.5	9	69.2	47	91.7	21	87.5	262	87.3
Ascaris spp.	1	1.0	1	3.8	0	0	0	0	0	0	0	0	2	0.7
Toxocara spp.	1	1.0	0	0	13	15.3	0	0	0	0	0	0	14	4.7
Ancylostoma spp.	0	0	0	0	6	7.1	0	0	0	0	0	0	6	2.0
Strongylida	22	21.2	3	11.5	0	0	2	15.4	35	72.9	7	29.2	69	23.0
Echinoccus spp.	0	0	0	0	8	9.4	0	0	0	0	0	0	8	2.7
Hymenolepis nana	0	0	0	0	0	0	0	0	1	2.1	0	0	1	0.3
HELMINTHS	22	21.2	3	11.5	23	27.1	2	15.4	36	75.0	7	29.2	93	31.0
TOTAL	92	88.5	25	96.2	74	87.1	10	76.9	48	100	22	91.7	271	90.3

 $\ensuremath{\mathrm{np/ns}}\xspace$ number of parasitized animals / number of analyzed animals.

Wiley Journal of Parasitology Research Volume 2025, Article ID 4620160, 11 pages https://doi.org/10.1155/japr/4620160



Research Article

Protozoan and Helminth Contamination in Ecuadorian Agricultural Products: Dominance of *Blastocystis* sp.

Luisa Carolina González-Ramírez , Cristian Andrés Quito López , Verónica Carolin Rojano Silva , Ximena del Rocío Robalino Flores , Silvia Paola Monar Basantes , José G. Prato , César Díaz-Godínez , and Julio César Carrero

TABLE 1: Occurrence of parasites in agricultural products harvested in the capital of Guano canton.

Allendaria de la compositione de	Fruit. n = 310				Vegeta	ibles		Leafy g	Total n = 773			
Parasites					n = 3			#= 2				
	np	With the same	IC .	np	%	IC .	np	%	1C	np	%	155
Blastocystis ap.	135	43.5	(38-49)	67	35.6	(28.8-42.4)	112	40.7	(34.9-46.5)	314	40.6	
El meria sp.	67	21.6	(17-262)	30	36	(10.8-21.2)	85	30.9	(25.4-36.4)	18.2	23.5	
Entamoeba sp.	15	4.8	(2.4-72)	2.0	10.6	(6.3-15)	51	18.5	(13.9-23.1)	36	11.1	
Cryptosporidium sp.	17	5.5	(3.0-3.0)	11	5.9	(2.5-9.3)	14	5.3	(2.5-7.7)	42	5.4	
Cyclospora sp.	15	4.3	(2.4-7.2)	7	3.7	(1-6.4)	14	5.3	(2.5-7.7)	36 32	4.7	
En dolim ac nan a	19	6.1	(3.4-8.8)	4	2.1	(0.1-4.1)	9	3.3	(1.2-5.4)	32	4.1	
Balantidium sp.	1	0.3	(0-0.9)	0	0	0	19	6.9	(3.9-9.9)	20	2.6	
Chilomestic sp.	2	0.6	(0-1.5)	7	3.7	(1-6.4)	1	0.4	(0-1.1)	30	1.3	
Cjetokospora sp.	3	1.0	(0-2.1)	1	0.5	(0-1.5)	0	0	0	4	0.5	
Giardia sp.	0	0	0	0	0	0	3	1.1	(0-23)	3	9.4	
Total positives with protozoa	205	66.1	(60.8-71.4)	122	64.9	(58.1-71.7)	228	82.9	(78.4-87.4)	55.5	71.8	
Strongylida larvae	2.7	8.7	(56-118)	53	28.2	(21.8-34.6)	46	167	(12.3-21.1)	12.6	56.3	
Passalunus ambiguus	0	0	0	0	0	0	3	1,1	(0-23)	3.	64	
Ancylostomidae eggs	1	0.3	(0-0.9)	10	0.5	(0-15)	0	0	.0	2	0.3	
Total positives with helminths	28	9.0	(58-122)	54	28.7	(22.2-35.2)	49	17.8	(13.3-22.3)	13.1	16.9	
Total positives with parasites	208	67.1	(61.9-723)	130	69.1	(62.5-75.7)	238	86.5	(82.5-90.5)	576	74.5	

Note n = sample size, np = samples positive for persellic structures.

Abbreviation: IC = confidence interval.





Article

Influence of Environmental Pollution and Living Conditions on Parasite Transmission among Indigenous Ecuadorians

Luisa Carolina González-Ramírez ^{1,*}, Ximena Robalino-Flores ¹, Eliana De la Torre ¹, Paúl Parra-Mayorga ², José Gregorio Prato ^{3,*}, María Trelis ^{4,5} and Màrius Vicent Fuentes ⁵



Figure 4. (a) Milk, (b) fish without refrigeration, (c) grains and cereals, and (d) pasta dispensed without adequate hygiene.

Influence of Environmental Pollution and Living Conditions on Parasite Transmission among Indigenous Ecuadorians

Luisa Carolina González-Ramírez ^{1,*}, Ximena Robalino-Flores ¹, Eliana De la Torre ¹, Paúl Parra-Mayorga ², José Gregorio Prato ^{3,*}, María Trelis ^{4,5} and Màrius Vicent Fuentes ⁵

Table 1. Distribution of the frequency of parasite contamination according to mechanical vectors.

Parasites	Flies ns = 186		Spiders ns = 71		Total ns = 300 *		Dif.Prop	EE (D'(Pro-r)	95%		RR	95% CI	
	np	%	np	%	np	%	:•:	(Dif.Prop)	Ll	Ul		RR	
Blastocystis sp.	75	40.3	6	8.5	81	27.0	0.3187	0.0488	0.2230	0.4144	15.9	15.2-16.5	
Entamoeba spp.	149	80.1	6	8.5	155	51.7	0.7166	0.0441	0.6301	0.8030 9.5		8.7-10.2	
Endolimax nana	3	1.6	0	0	3	1.0	-	72	2 2		2	2	
Iodamoeba butschlii	5	2.7	0	0	5	1.7	1.90	1500	¥3	~ ~		2	
Giardia spp.	6	3.2	0	0	6	2.0		-	* *		:=:	=	
Cyclospora spp.	8	4.3	0	0	8	2.7	8.7	-	(5)	100		₹.	
Eimeria spp.	18	9.7	0	0	18	6.0		-	-	-	-	5	
Protozoa	149	80.1	9	12.7	158	52.7	0.6743	0.0492	0.5780	0.7706	6.3	5.7-6.9	
Toxocara spp.	2	1.1	0	0	2	0.7	-	-				ē	
Strongylida	1	0.5	0	0	1	0.3	32	-	2 2		-	2	
Helminths	3	1.6	0	0	3	1.0	172:	1722	1200		12	2	
Total	149	80.1	9	12.7	158	52.7							

^{*} The total number of arthropods was 300, including the 43 beetles that tested negative. np/ns: number of parasitized/number of analyzed; Dif.Prop: difference in proportions; EE (Dif.Prop): standard error of difference in proportions; CI: confidence interval; LI: lower limit; UI: upper limit; RR: relative risk.

Influence of Environmental Pollution and Living Conditions on Parasite Transmission among Indigenous Ecuadorians

Luisa Carolina González-Ramírez ^{1,*}, Ximena Robalino-Flores ¹, Eliana De la Torre ¹, Paúl Parra-Mayorga ², José Gregorio Prato ^{3,*}, María Trelis ^{4,5} and Màrius Vicent Fuentes ⁵

Table 3. Frequency of intestinal parasites in residents of the San Andres parish.

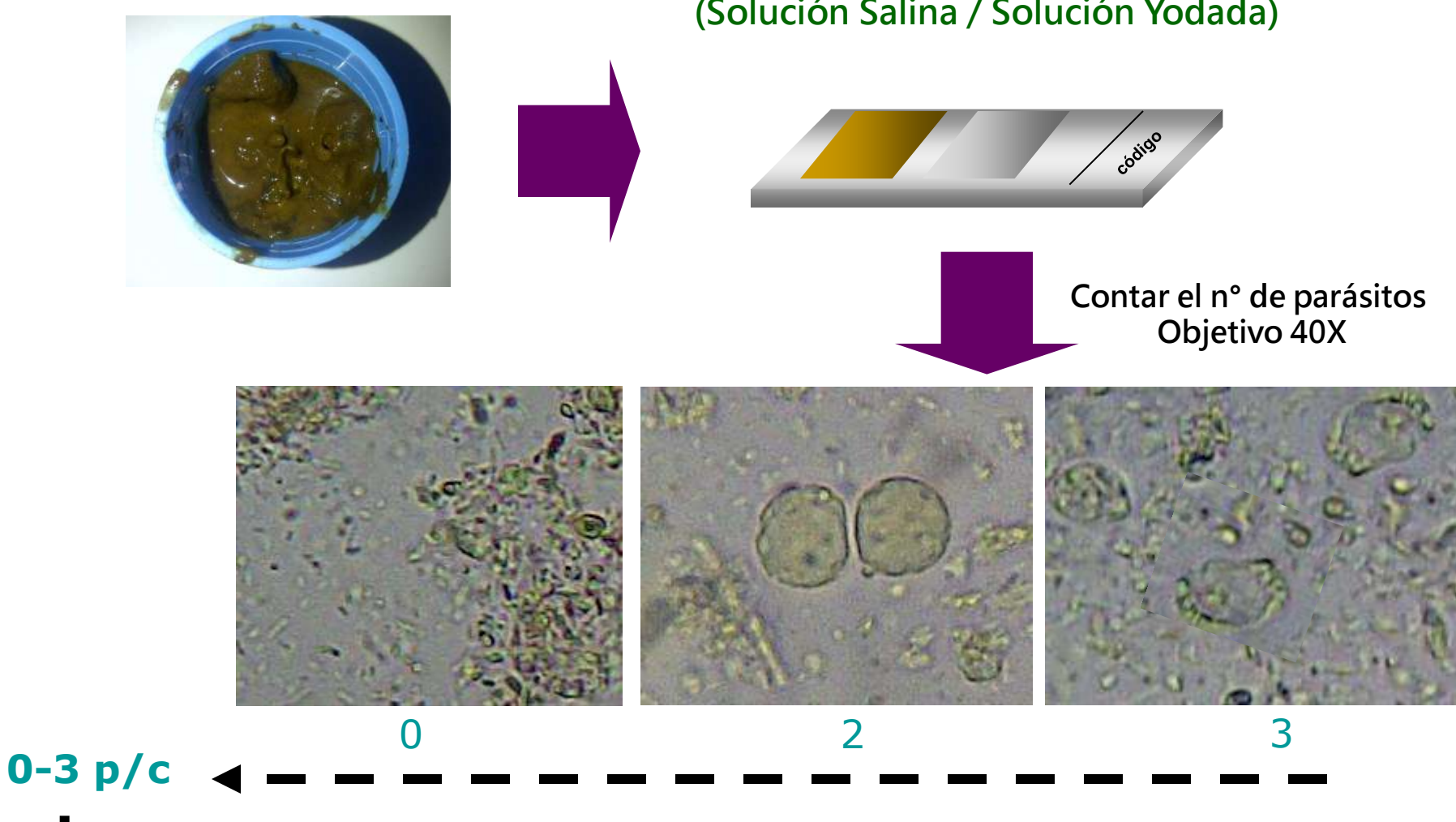
	Communities of San Andrés													
Parasites	1 ns = 110		2 ns = 122		3 ns = 57		4 ns = 32		5 ns = 51		6 ns = 24		Total ns = 39	
	np = 107	%	np = 122	%	np = 55	%	np = 32	%	np = 49	%	np =24	%	np = 389	%
Blastocystis sp.	91	82.7	103	84.4	53	93.0	29	90.6	45	88.2	22	91.7	343	86.6
Entamoeba histolytica *	31	28.2	39	32.0	18	31.6	12	37.5	15	29.4	9	37.5	124	31.3
Entamoeba coli	71	64.5	69	56.6	21	36.8	21	65.6	31	60.8	15	62.5	228	57.6
Entamoeba hartmanni	22	20.0	47	38.5	25	43.9	7	21.9	14	27.5	5	20.8	120	30.3
Endolimax nana	75	68.2	88	72.1	43	75.4	20	62.5	37	72.5	12	50.0	275	69.4
Iodamoeba butschlii	77	70.0	17	13.9	4	7.0	4	12.5	9	17.6	4	16.7	115	29.0
Giardia duodenalis	11	10.0	8	6.6	4	7.0	4	12.5	12	23.5	1	4.2	40	10.1
Chilomastix mesnili	27	24.5	21	17.2	8	14.0	9	28.1	10	19.6	2	8.3	77	19.4
Retortamona intestinalis	2	1.8	1	0.8	0	0	1	3.1	0	0	0	0	4	1.0
Cryptosporidium spp.	4	3.6	5	4.1	1	1.8	2	6.3	0	0	2	8.3	14	3.5
Cyclospora cayetanesis	2	1.8	10	8.2	3	5.3	0	0	2	3.9	0	0	17	4.3
Protozoa	107	97.3	122	100	55	96.5	32	100	49	96.1	24	100	389	98.2
Ascaris lumbricoides	2	1.8	4	3.3	2	3.5	0	0	8	15.7	1	4.2	17	4.3
Trichuris trichiura	1	0.9	2	1.6	2	3.5	0	0	0	0	1	4.2	6	1.5
Ancylostomidae **	0	0	1	0.8	1	1.8	0	0	0	0	0	0	2	0.5
Enterobius vermicularis	1	0.9	0	0	0	0	0	0	0	0	0	0	1	0.3
Hymenolepis nana	0	0	3	2.5	7	12.3	0	0	3	5.9	2	8.3	15	3.8
Helminths	4	3.6	8	6.6	9	15.8	0	0	9	17.6	3	12.5	33	8.3
Total	107	97.3	122	100	55	96.5	32	100	49	96.1	24	100	389	98.2

np/ns: number of parasitized/number of analyzed; * Entamoeba histolytica/E. dispar/E. moshkovskii/E. bangladeshi; ** Ancylostomidae: Ancylostoma duodenale/Necator americanus.

Diagnóstico

Diagnóstico tradicional

Examen Directo (Solución Salina / Solución Yodada)

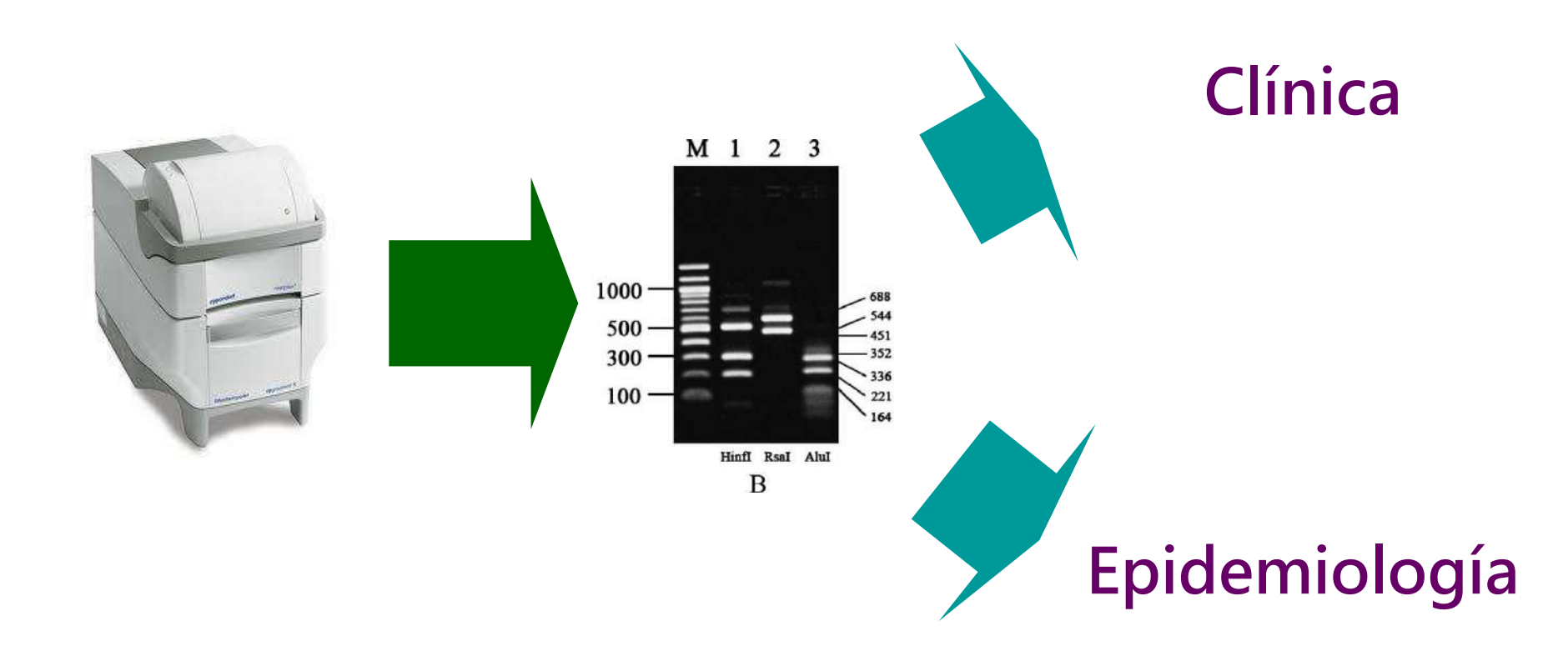


Estadios morfológicos (cuerpo central, granular y división)

Diagnóstico

Otras herramientas diagnósticas:

PCR Diagnóstico y posterior caracterización de los subtipos

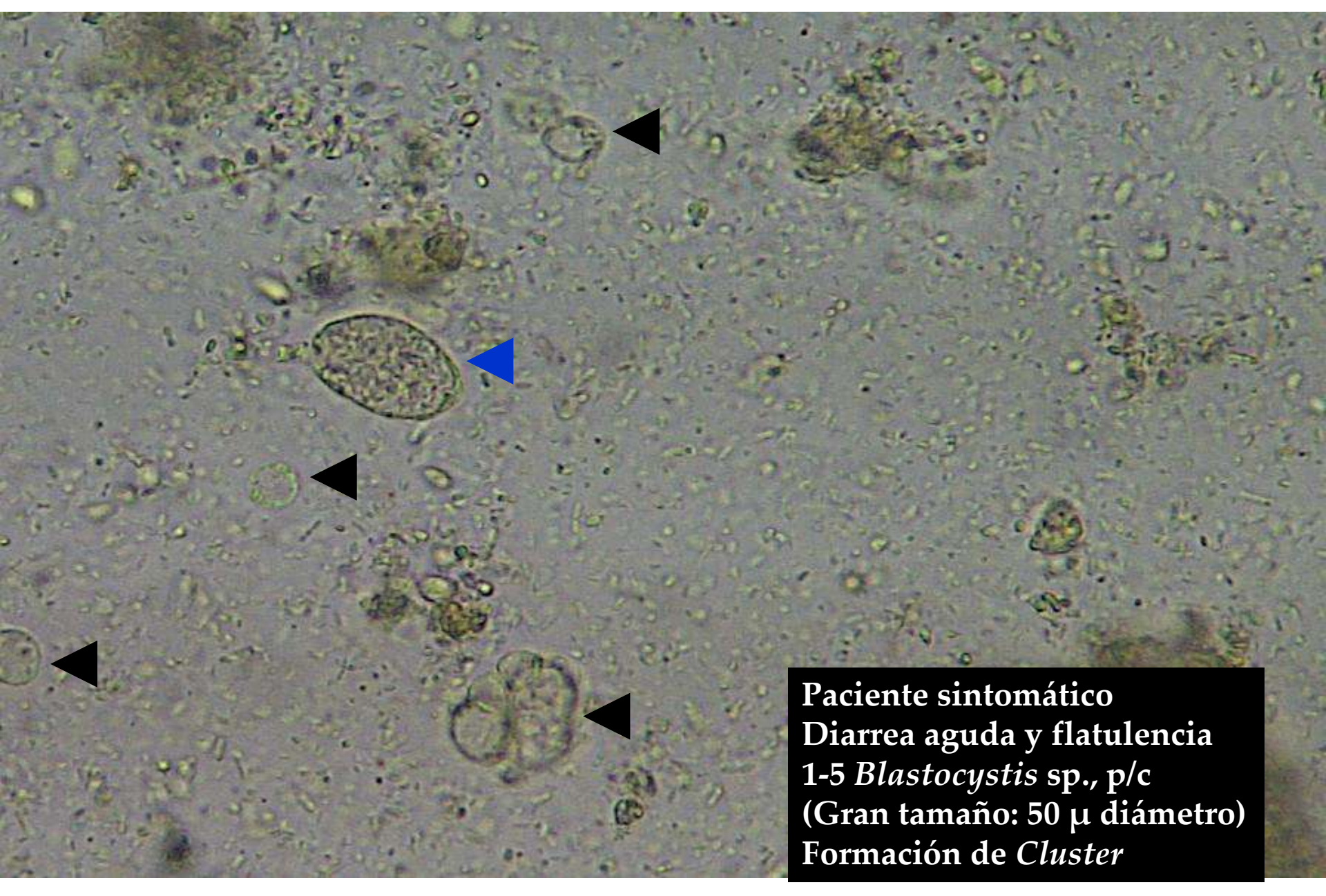


Experiencia en el laboratorio



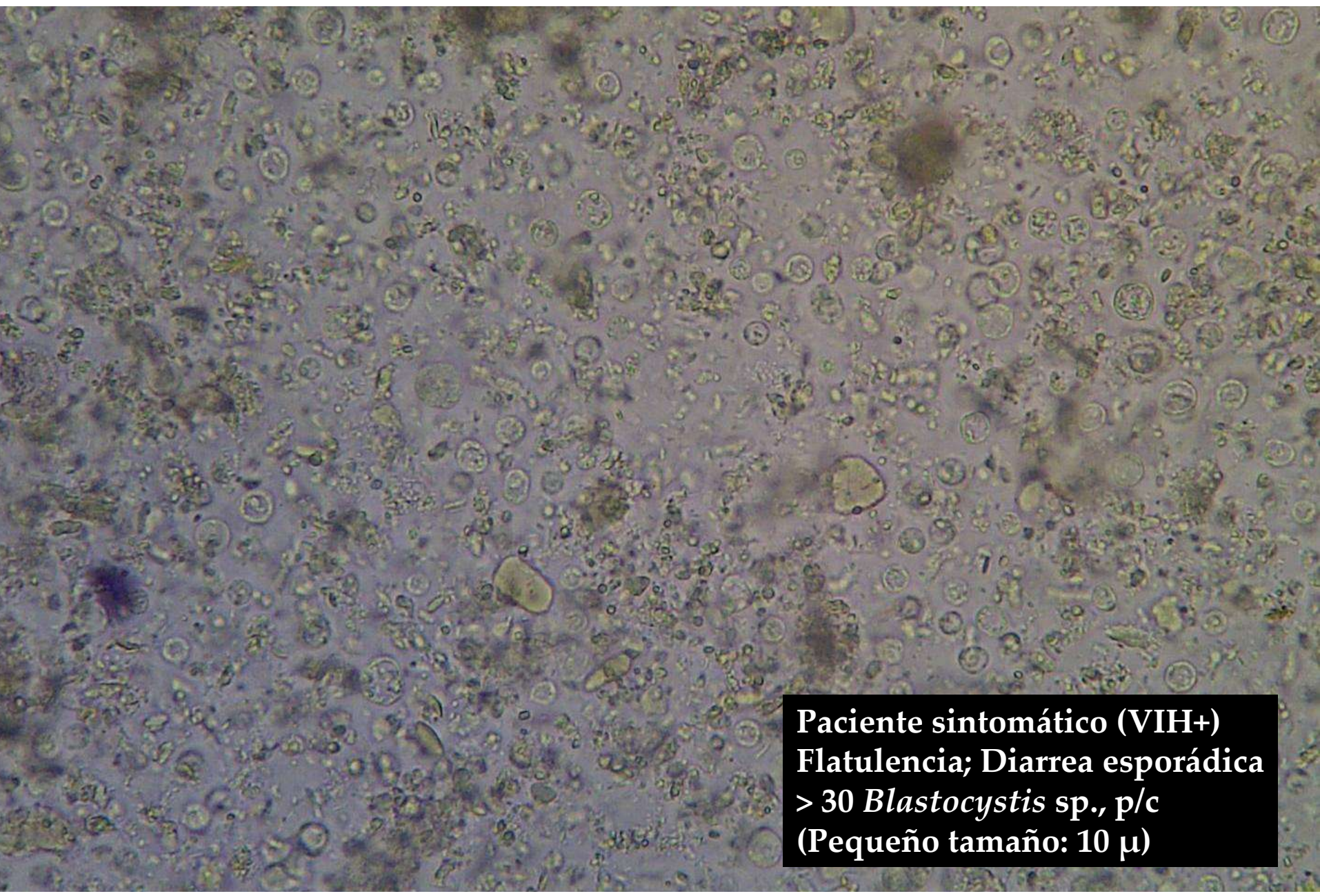
¿El número de parásitos (*Blastocystis* sp.) se asocia a sintomatología intestinal?

Forma granular (▶) y vacuolar (▶) de *Blastocystis* sp.



Examen Directo (Solución yodada; 400X)

Forma vacuolar y granular de Blastocystis sp.



Examen Directo (Solución yodada; 400X)

Tratamiento

Pacientes asintomáticos no requieren tratamiento

- Nitazoxanida: Colufase®
 - 1-3 años:100 mg c/12h, Vía Oral, x 3 días
 - 4-11 años: 200 mg c/12h, VO, x 3 días
 - >12 años: 500 mg c/12h, VO, x 3 días
- Metronidazol: 20 mg/kg/día, VO, x 5-7 días

Análisis Microscópico:

Parásitos: En la muestra analizada se observaron morfotipos (vacuolar, granular, ameboide y en fisión binaria) de *Blastocystis* sp., de 1-5 p/c.

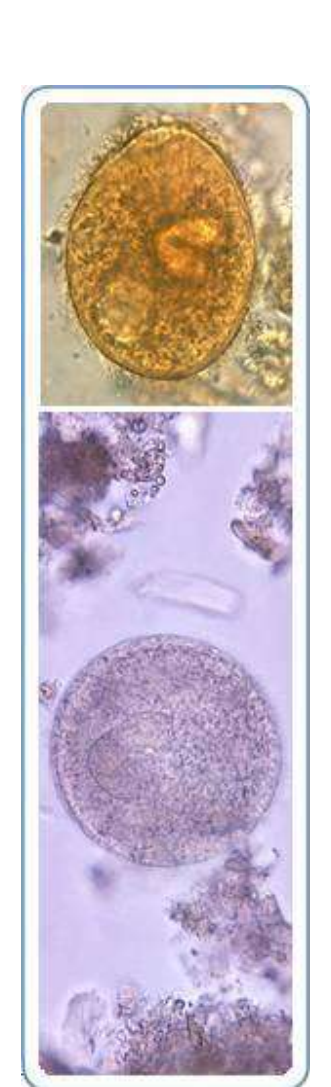
Recordar...; Es Blastocystis sp. NO Blastocito o Blastocystos Blastocystis sp., de 1-5 p/c.

Técnicas utilizadas:

Examen Directo (Solución Salina /Solución Yodada/Sudán III) Concentración de formalina-éter (Ritchie) Tinción de ácido-alcohol resistencia (Ziehl-Neelsen modificado)



Carrera Laboratorio Clínico Facultad de Ciencias de la Salud Universidad Nacional de Chimborazo Riobamba-Ecuador



Protozoarios: Ciliados Balantidium coli

Taxonomía

Reino Protista

Filo Ciliophora

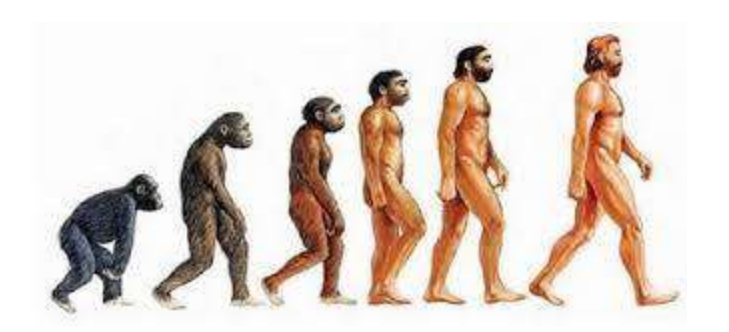
Clase Litostomatea

Orden Vestibuliferida

Familia Balantiididae

Género Balantidium

Especie B. coli, B suis, B. struthionis



B coli



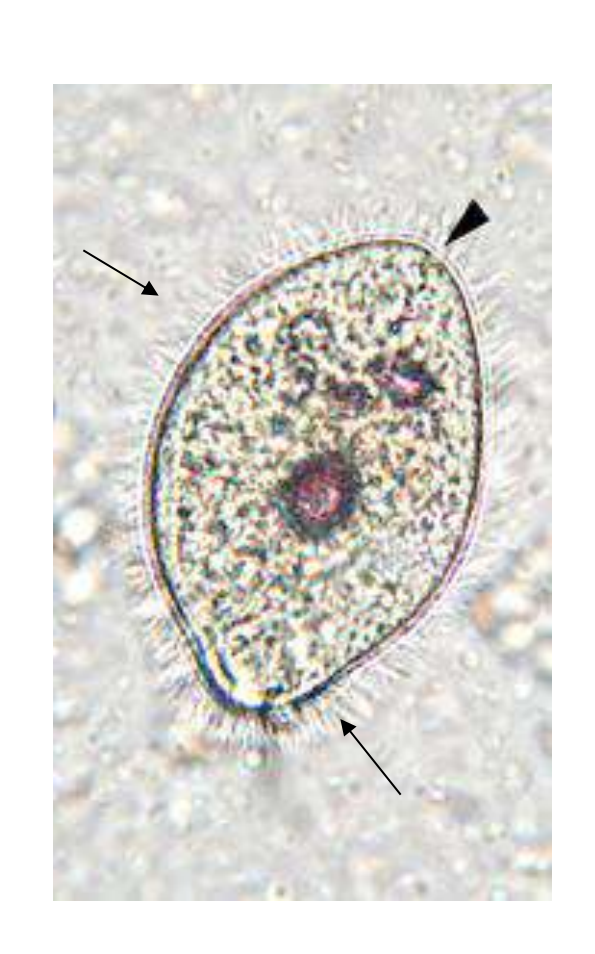
B suis



B struthionis

• Balantidium coli es miembro del grupo de Generalidades protozooarios ciliados

- Posee **prolongaciones cortas** denominados cilios
- Son parásitos del aparato digestivo de hospedadores vertebrados e invertebrados
- El género *Balantidium* tiene varias especies patógenas para animales, se han descrito infecciones en ranas, jabalíes, ovejas, caballos, bovinos, aves, peces, tortugas, cucarachas y otros.



La única especie patógena para el hombre es *B. coli*

Table 2 Distribution of parasitic species according to animal groups.

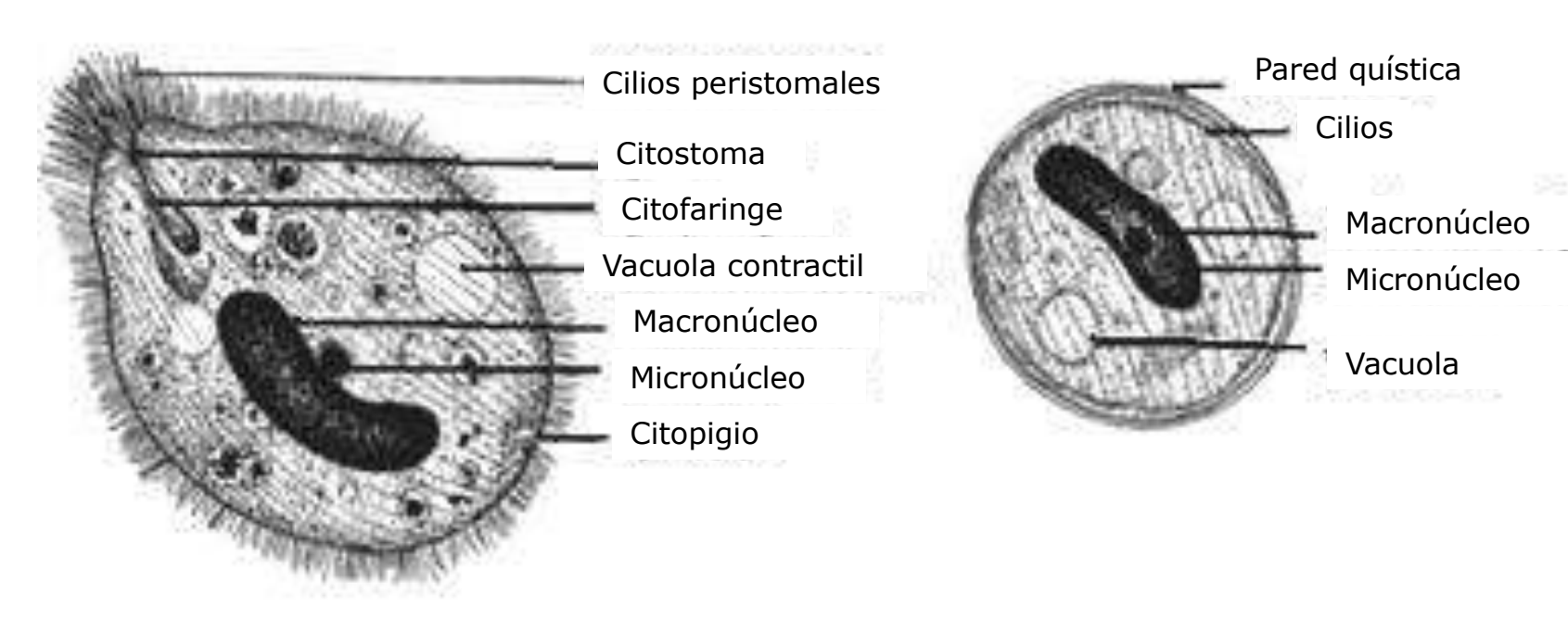
Parasites Herbivo		ivores	Omnivores (Pigs)	ns = 85		ns = 13		Rodents (Guinea pigs) ns = 48			Leporidae (Rabbits)	TOTAL ns = 300		
$\frac{ns = 104}{np \qquad (96)}$	104	ns = 26	ns = 24											
	np	(%)	np	(%)	np	(%)	np	(%)	np	(%)	np	(%)	np	(%)
Blastocystis spp.	44	42.3	13	50.0	32	37.6	6	46.2	17	35.4	6	25.0	118	39.3
Entamoeba spp.	51	49.0	17	65.4	33	38.8	3	23.1	26	54.2	4	16.7	134	44.7
Endolimax nana	6	5.8	5	19.2	9	10.6	1	7.7	7	14.6	0	0	28	9.3
Iodamoeba buetschlii	8	7.7	10	38.5	3	3.5	0	0	0	0	0	0	21	7.0
Giardia spp.	12	11.5	5	19.2	5	5.9	0	0	0	0	2	8.3	24	8.0
Enteromonas spp.	0	0	0	0	0	0	0	0	1	2.1	0	0	1	0.3
Retortamonas spp.	0	0	2	7.7	0	0	0	0	1	2.1	0	0	3	1.0
Chilomastix spp.	0	0	0	0	4	4.7	0	0	5	10.4	0	0	9	3.0
Balantidium spp.	6	5.8	5	19.2	1	1.2	0	0	0	0	0	0	12	4.0
Cryptosporidium spp.	6	5.8	2	7.7	5	5.9	2	15.4	4	8.3	2	8.3	21	7.0
Eimeria spp.	68	65.4	7	26.9	13	15.3	5	38.5	31	64.6	12	50.0	136	45.3
PROTOZOA	89	85.6	25	96.2	71	83.5	9	69.2	47	91.7	21	87.5	262	87.3
Ascaris spp.	1	1.0	1	3.8	0	0	0	0	0	0	0	0	2	0.7
Toxocara spp.	1	1.0	0	0	13	15.3	0	0	0	0	0	0	14	4.7
Ancylostoma spp.	0	0	0	0	6	7.1	0	0	0	0	0	0	6	2.0
Strongylida	22	21.2	3	11.5	0	0	2	15.4	35	72.9	7	29.2	69	23.0
Echinoccus spp.	0	0	0	0	8	9.4	0	0	0	0	0	0	8	2.7
Hymenolepis nana	0	0	0	0	0	0	0	0	1	2.1	0	0	1	0.3
HELMINTHS	22	21.2	3	11.5	23	27.1	2	15.4	36	75.0	7	29.2	93	31.0
TOTAL	92	88.5	25	96.2	74	87.1	10	76.9	48	100	22	91.7	271	90.3

 $\ensuremath{\mathrm{np/ns}}\xspace$ number of parasitized animals / number of analyzed animals.

Balantidium coli Morfología

Trofozoíto

Quiste



30 a 150 μm de longitud por 25 a 120 μm de ancho

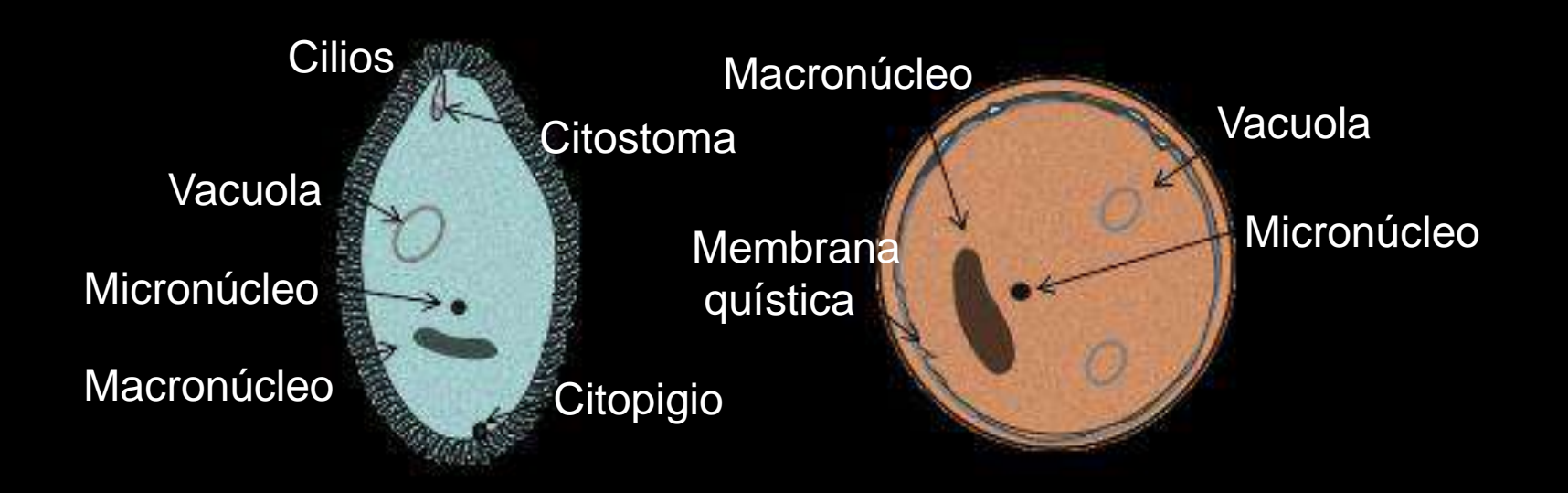
45 μm a 65 μm

Binucleado:

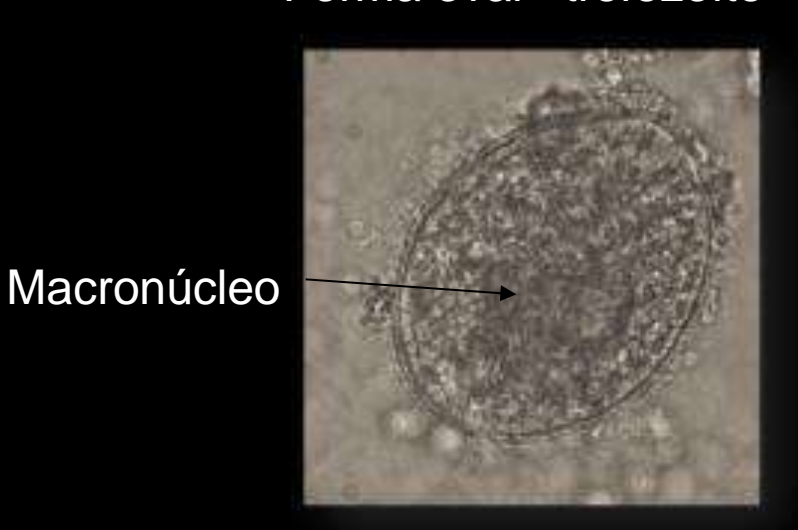
Macronúcleo: forma arriñonado, presencia de cromatina

Micronúcleo: masa redonda localizado en la curvatura del macronúcleo

Estadíos morfológicos de trofozoítos y quistes



Forma oval= trofozoíto



Forma esférical= quiste

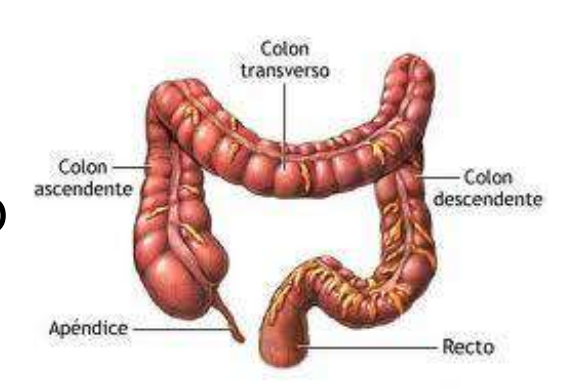


Macronúcleo

Hábitat y morfología

HÁBITAT

Mucosa y sub-mucosa del intestino grueso

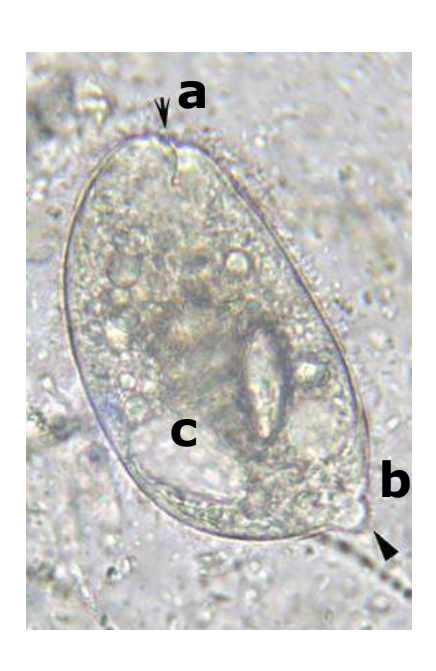


*ADAM

MORFOLOGÍA

Trofozoíto

- Forma patógena
- Forma ovoide recubierto de cilios (movimiento)
- Citostoma [a]: ingestión de nutrientes
- Citopigio [b]: excreción de residuos
- Vacuolas contráctiles [c]: digestión

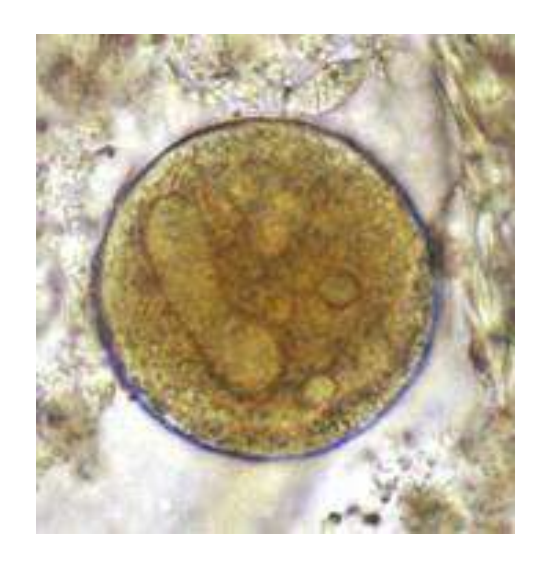


150 μm de longitud x 120 μm de ancho

Morfología

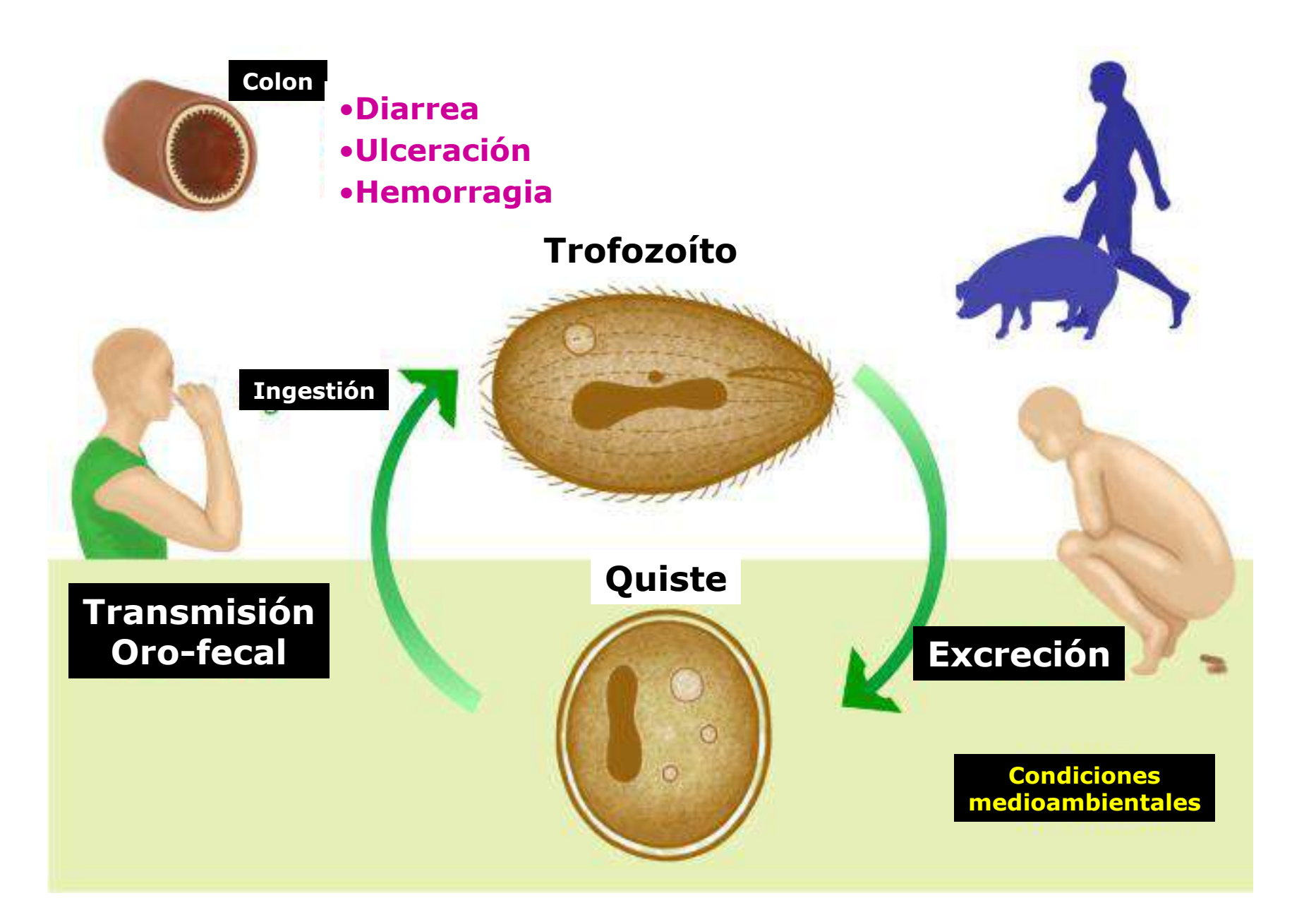
Quiste

- Forma infectante
- Esférico u oval
- Doble pared (gruesa)
- Enquistamiento ocurre en la luz intestinal
- Quistes jóvenes presentan cilios (debajo de la pared quística)
- Quistes maduros: ausencia de cilios y citostoma.

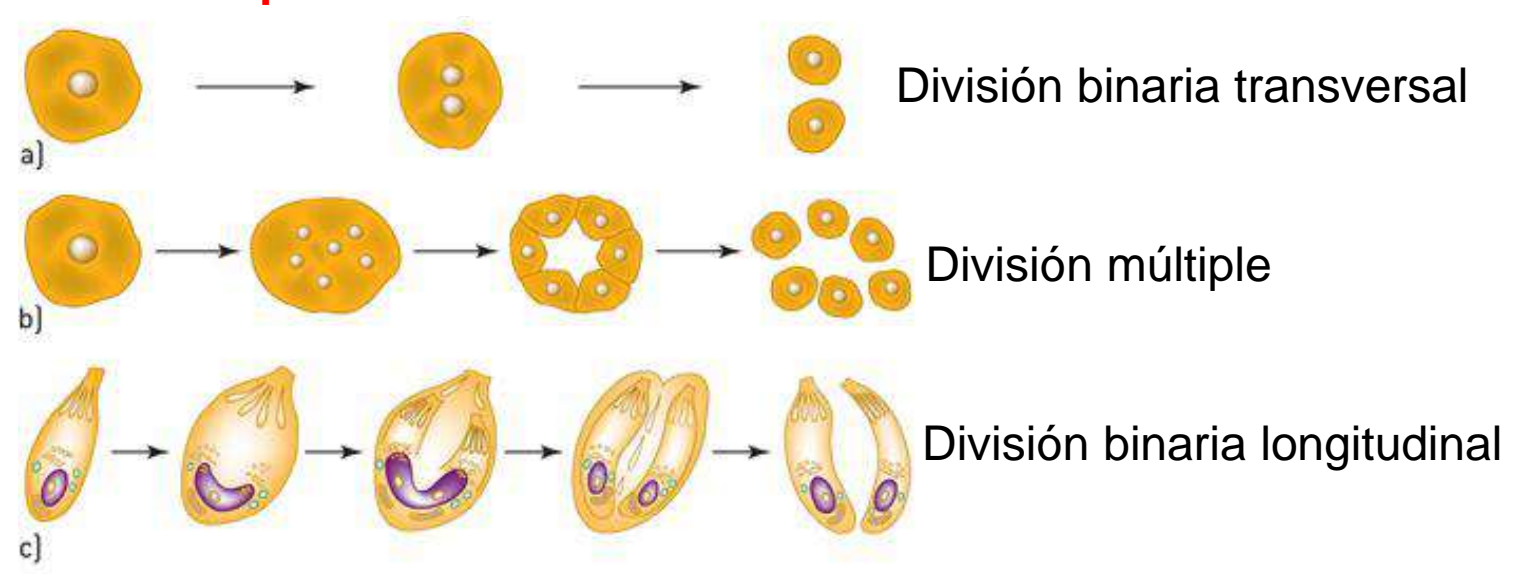


45 μm a 65 μm

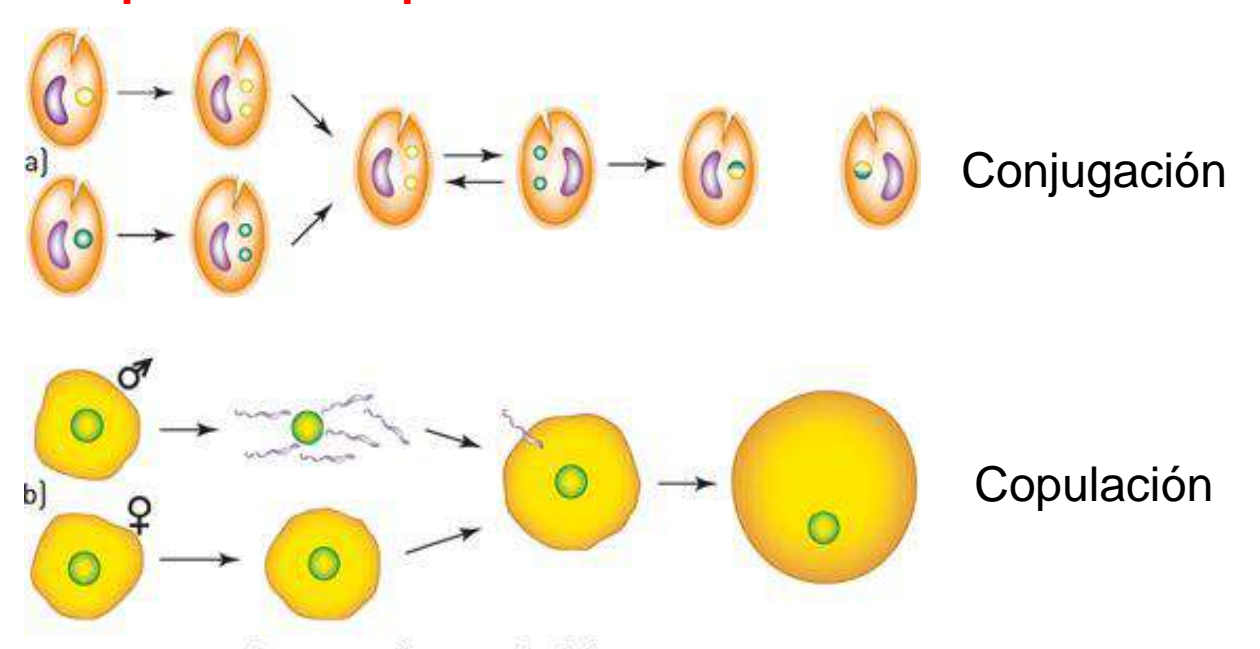
Ciclo biológico



Multiplicación Asexual



Tipos de Multiplicación Sexual



Fuente: Werner Louis Apt Baruch: Parasitología humana, www.accessmedicina.com Derechos © McGraw-Hill Education. Derechos Reservados.

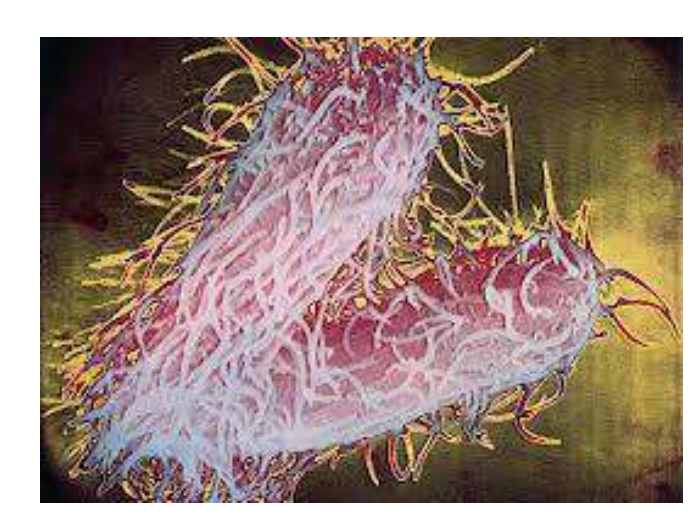
http://www.dpd.cdc.gov/dpdx Quiste Los quistes es el estadio infectante y se Algunos trofozoítos adquieren Invaden la pared del colon a través de la ingesta de agua y alimentos contaminados Estadio infectante Estadio diagnóstico Quiste Trofozoíto Quiste

Ciclo biológico

Reproducción de la forma trófica

- Asexual
 Fisión binaria transversal
- Sexual

Conjugación (intercambio del micronúcleo, conteniendo el material genético, a través del citostoma)



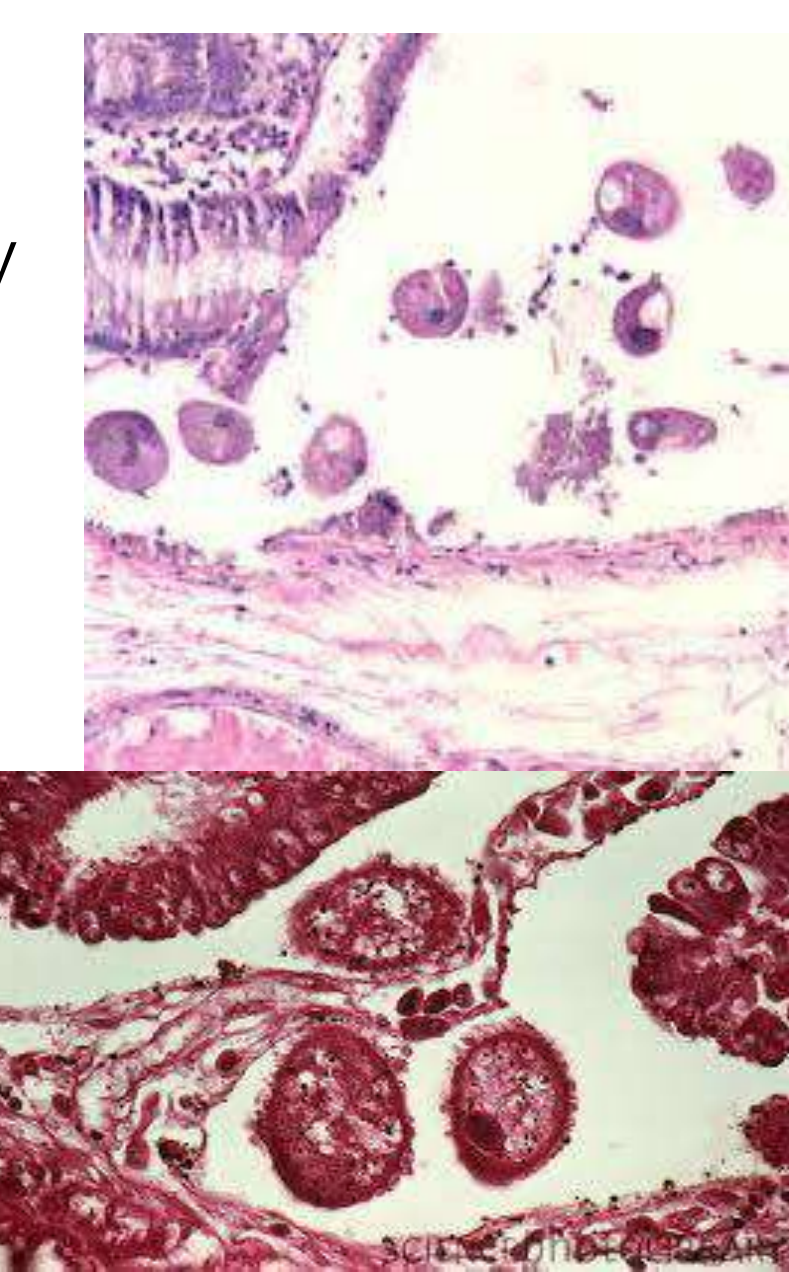
Acción lítica

- Acción mecánica (propulsión)
- Mucosa y submucosa:
 Reacción inflamatoria, ulceración y perforación

Factores predisponentes:

- Aclorhidria
- Enfermedades debilitantes
- Edad
- Infecciones bacterianas

Patogenia



Parásito: Sensible a pH menor a 5

Diagnóstico

Fase aguda:

Muestra: heces frescas

Estadio diagnóstico: Trofozoíto [a]

Técnica: Examen Directo (movilidad)

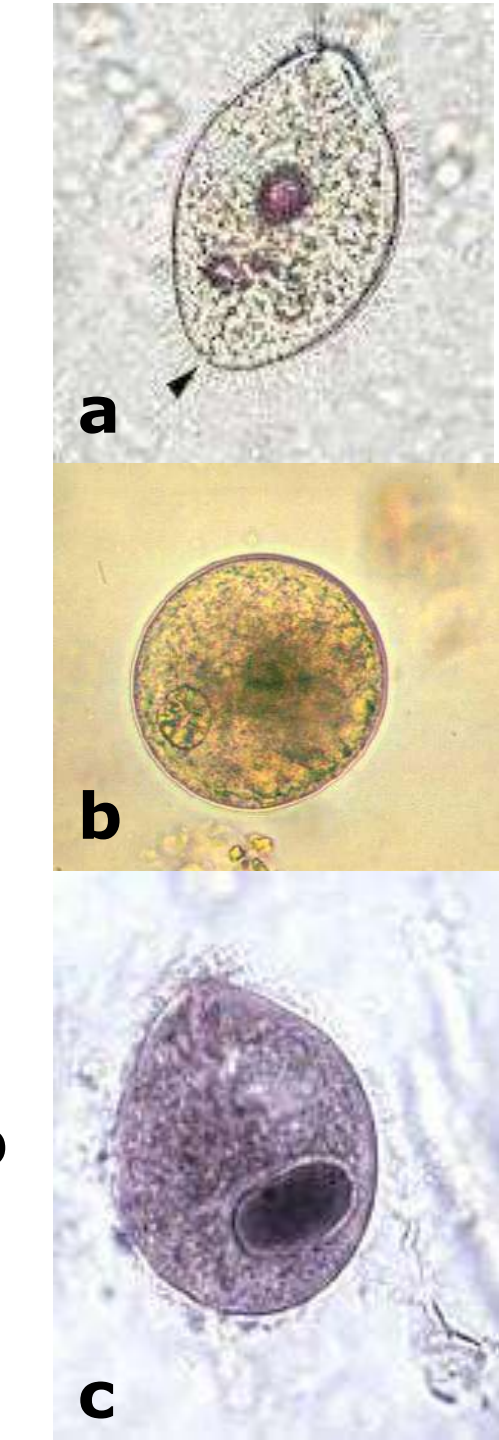
Fase crónica

Muestra: Seriado de heces

Estadio diagnóstico: Quiste [b]

Técnicas: Concentración (sedimentación)

*Tinción de Hematoxilina Férrica o Tricrómica [c]



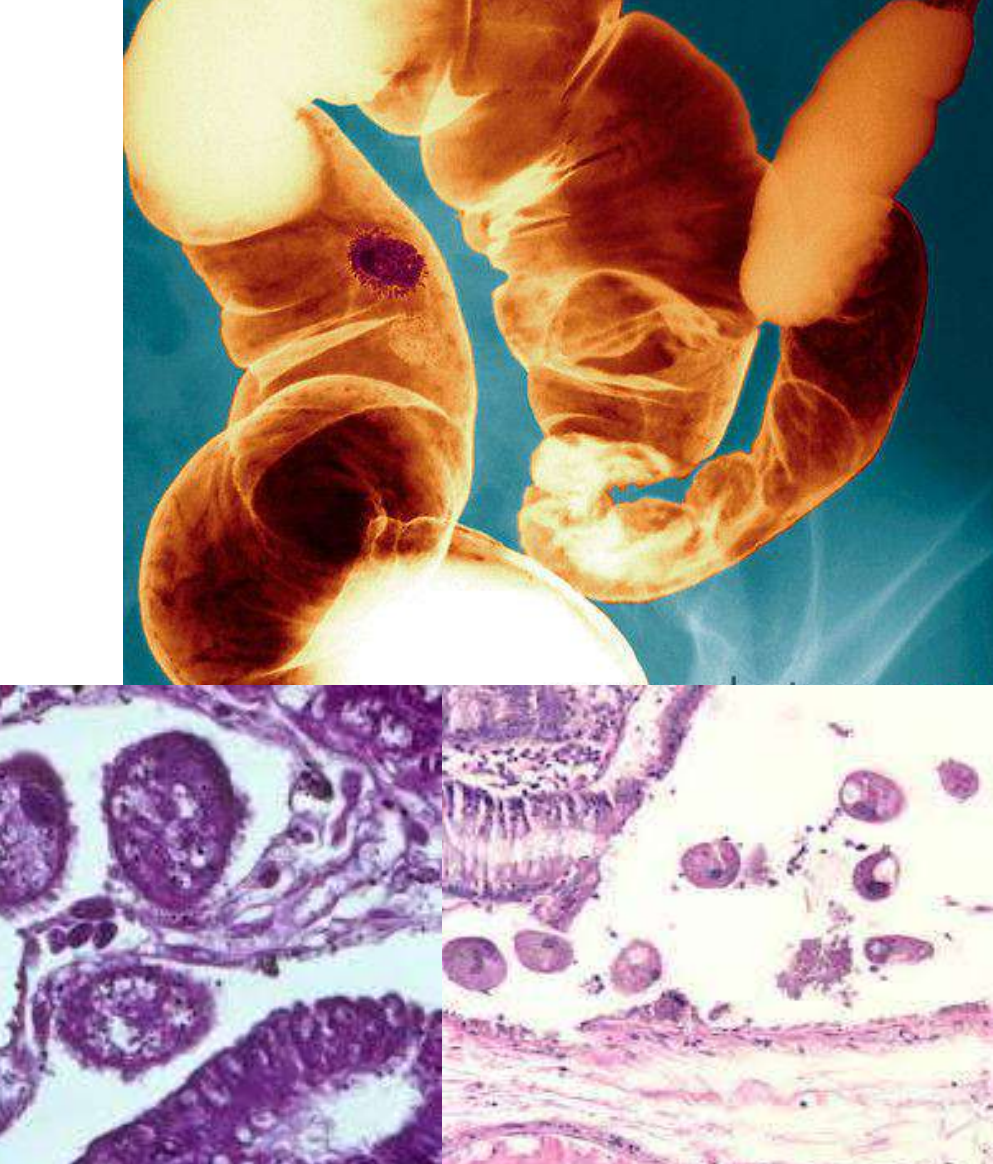
Diagnóstico

Rectosigmoidoscopia:

Lesiones y examen del material fresco

Biopsia:

Lesiones ulcerosas, estudio histopatológico



Epidemiología

- Zoonosis (secundaria para el humano)
- Cosmopolita
- Poco frecuente (1%)
- Mayor prevalencia en zonas tropicales y subtropicales
- Frecuente en países pobres con precarias condiciones higiénicas







Epidemiología



Tratamiento y profilaxis

TRATAMIENTO

- Tratamiento de casos sintomáticos y asintomáticos (delibilitamiento progresivo)
- Oxitetraciclina: 500 mg, 4 veces al día x 10 días EN MAYORES DE 6 AÑOS
- Otros fármacos: diyodohidroxiquina, nitazoxanida, aminosidina y metronidazol

PROFILAXIS

Educación sanitaria, principalmente a las personas que mantiene contacto directo con porcinos

Evitar la contaminación de agua y alimentos con excretas de cerdos

• Evitar el desarrollo de infección porcina y el riesgo de contaminación con sus heces

Daño de los dientes causado por la Tetraciclinas en menores de 6 años









Carrera Laboratorio Clínico Facultad de Ciencias de la Salud Universidad Nacional de Chimborazo Riobamba-Ecuador

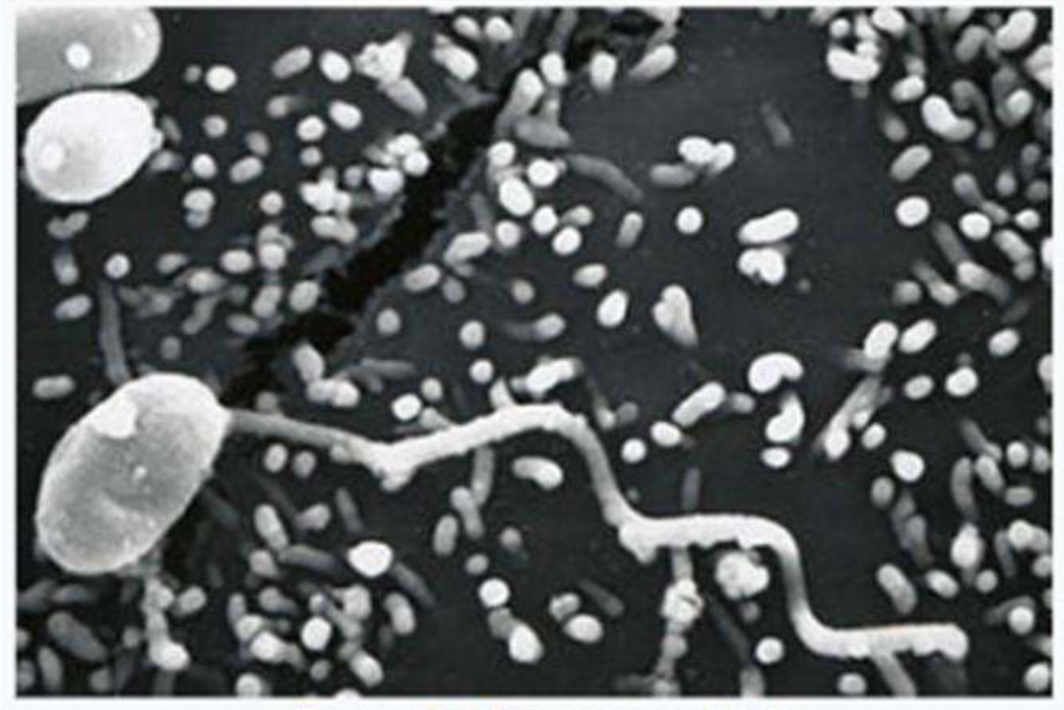


Microsporidios

Prof. Luisa Carolina González

Microsporidia





Encephalitozoon cuniculi

Taxonomía

Dominio: Eukaryota

Reino: Fungi

División: Rozellomycota

Clase: Microsporidia

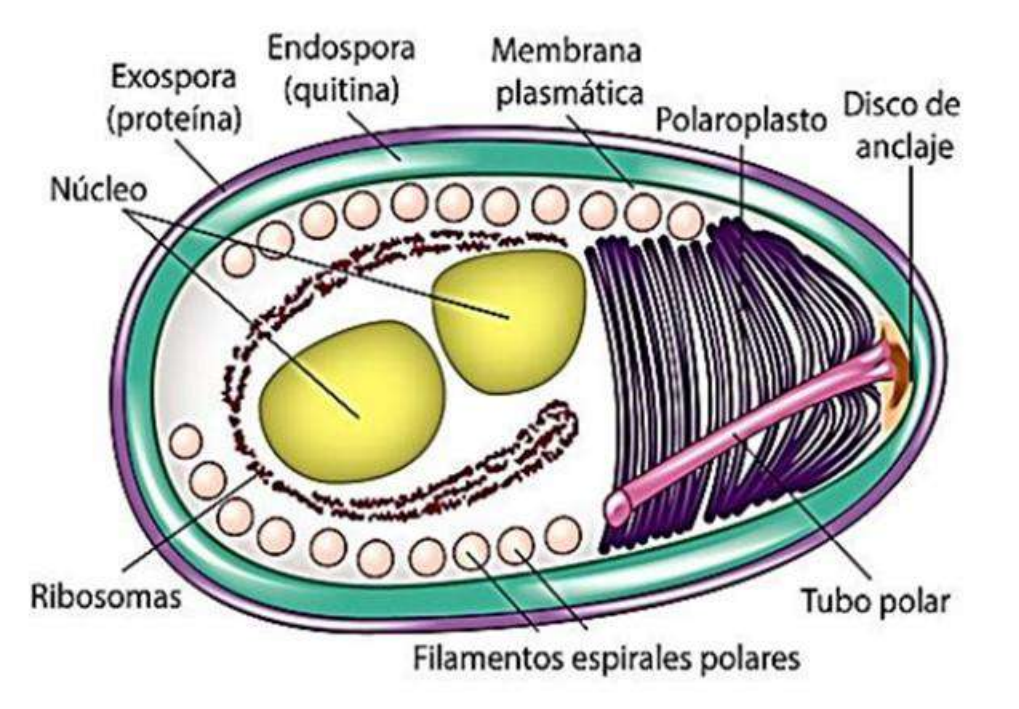
BALBIANI 1882

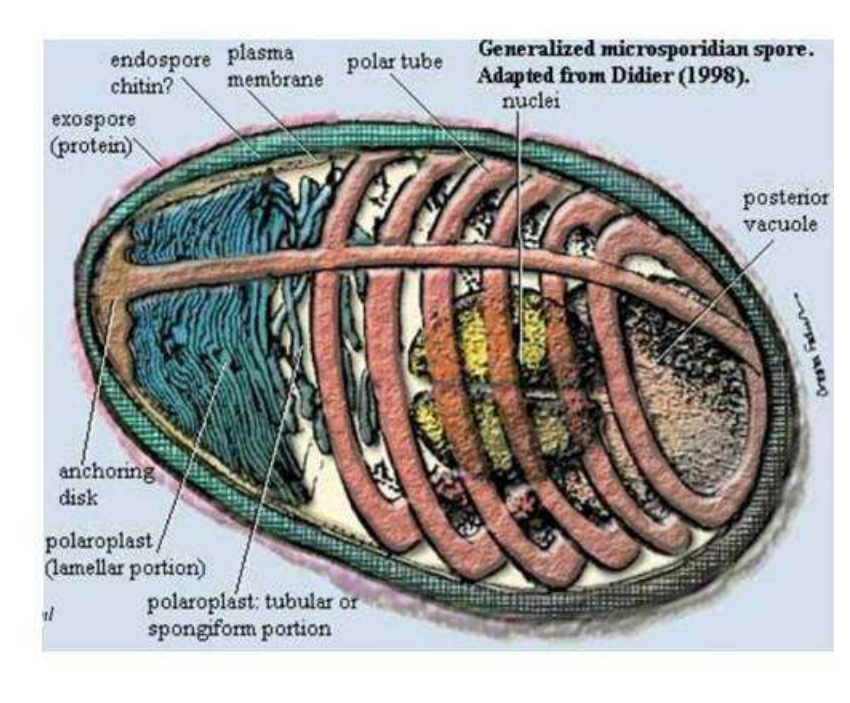
Los microsporidios fueron identificados inicialmente como protozoos. Actualmente se encuentran clasificados como hongos, con alrededor 1,200 especies conocidas, aunque solo 14 de ellas se reconocen como patógenas para el humano.

Hasta la fecha, se han descrito más de 1400 especies pertenecientes a más de 200 géneros como parásitos que infectan a una amplia gama de hospedadores vertebrados e invertebrados. Se han identificado al menos 15 especies de microsporidios como patógenos humanos; la gran mayoría de los casos son causados por *Enterocytozoon bieneusi*, seguido de algunas especies de *Encephalitozoon* (*E. cuniculi, E. hellem* , *E. intestinalis* [*Septata intestinalis*]). Otros agentes reportados con menor frecuencia incluyen miembros de los géneros *Anncaliia* (= *Brachiola*) (*A. algerae* , *A. connori, A. vesicularum*), *Microsporidium* (*M. ceylonensis* , *M. africanum*), *Trachipleistophora* (*T. hominis, T. anthropophthera*), *Nosema ocularum* , *Pleistophora ronneafiei* , *Vittaforma corneae* (= *Nosema corneae*), *Tubulinosema acridophagus* y una especie desconocida probablemente perteneciente a *Endoreticulatus* .

Morfología

Se consideran eucariotas pues tienen núcleos pero carecen de mitocondrias, peroxisomas, aparato de Golgi. La espora es la forma más comúnmente encontrada, es pequeña ovoide-cilíndrica, altamente resistente y se caracteriza por la presencia de un tubo o filamento polar enroscado, el cual por un mecanismo complejo de extrusión, es utilizado para inyectar su material infeccioso (esporoplasma) en las células huésped.





Habitat

Especies	Sitios de localización conocidos
Anncaliia algerae	Ojos, músculo
Anncaliia connori	Sistémico
Anncaliia vesicularum	Músculo
Encephalitozoon cuniculi	Sistémico
Encephalitozoon hellem	Ojos
Encephalitozoon intestinalis	Intestino delgado
Enterocytozoon bieneusi	Intestino delgado, árbol biliar
Especies de Microsporidium .	Ojos
Nosema ocularum	Ojos
Pleistophora ronneafiei	Músculo

Patogenia

- Ingesta de esporas
- Las esporas pasan al duodeno donde el esproplasma y su material nuclear son inyectados a una célula adyacente del intestino delgado.
- Los microsporidios se multiplican extensamente en el interior de uma vacuola parasitófora o de forma libre en el ctoplasma.

Filamento polar inyectando el esporoplasma en la célula intestinal del hospedador

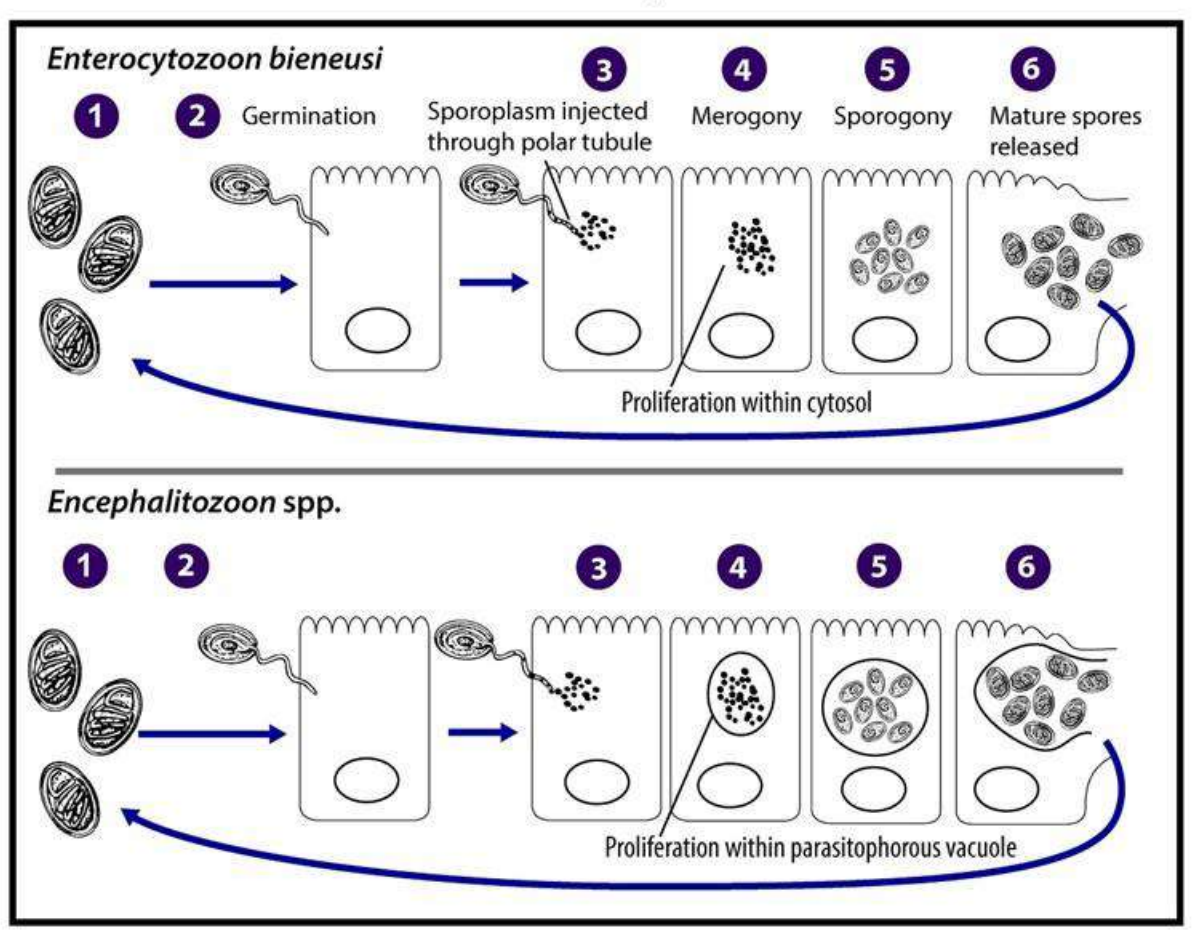


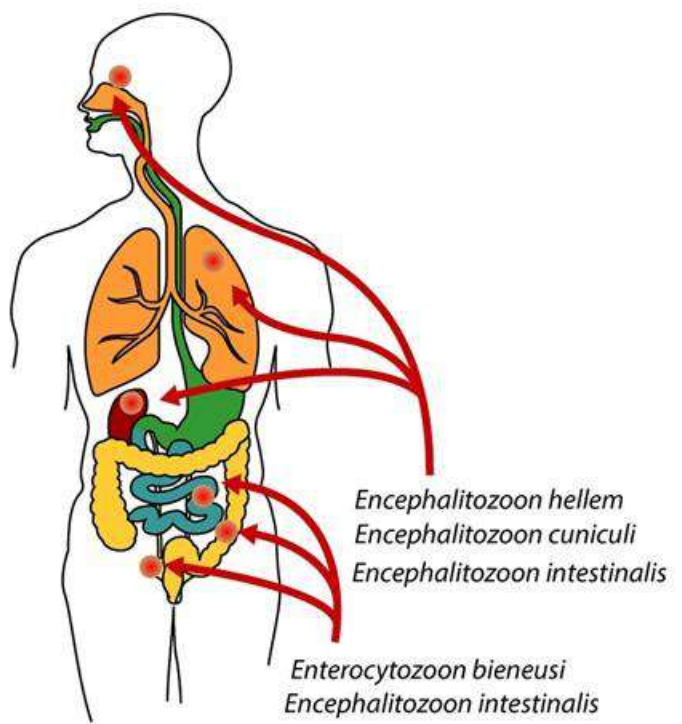


Microsporidia



Intracellular development





Hospedadores

Enterocytozoon bieneusi

Humanos, cerdos, ganado vacuno, gatos, perros y otros mamíferos (zoonóticos).

Encephalitozoon cuniculi

Conejos, perros, gatos, zorros, monos, loros, periquitos.

Encephalitozoon intestinalis

Humanos (antroponótico).

Epidemiología de Encephalitozoon Intestinalis en pacientes infectados con el virus de Inmunodeficiencia Humana con síndrome diarreico

Johanna, Villamar-Villamar¹; Jenniffer, Barco-Yunga¹, Julio César Bermúdez-Bermudez²

(Recibido: agosto 2017, Aceptado: noviembre 2017)

¹Facultad Ciencias de la Salud, Universidad Estatal de Milagro, UNEMI, Ecuador. Email: jvillamar2@unemi.edu.ec; jbarcoy@unemi.edu.ec

²Facultad Ciencias de la Salud, Universidad Estatal de Milagro, UNEMI, Ecuador. MSc. en Atención Integral al Niño, Doctor en Medicina, Especialista en Pediatría. Email: jbermudezb@unemi.edu.ec.

Resumen: La parasitosis está considerada dentro de las principales problemáticas de salud, tanto en el ámbito social como económico, con un perfil epidemiológico bien definido con impacto grave que recae sobre aquellos pacientes con un sistema inmunológico deprimido que presentan niveles bajos de linfocitos o células CD4 (1). El Encephalitozoon intestinalis, es un parásito del grupo de hongos, cuya principal sintomatología es producir diarrea crónica, su transmisión directa es de persona a persona encontrándose también en alimentos y agua contaminada. Se ha demostrado que las técnicas de diagnóstico normal no identifican la presencia del mismo, necesitando de métodos especializados para su detección. Investigaciones previas reportan que el 82% de pacientes con inmunodeficiencia humana (VIH) son afectados en su totalidad a nivel del sistema digestivo. Publicaciones sostienen que la pandemia del VIH, va en aumento, considerando que la afectación se hace más latente en Latinoamericanos que europeos. Se comprueba que la microsporidiosis afecta a individuos inmunocomprometidos con afectación sistémica, involucrando esencialmente los sistemas digestivo, respiratorio, hepato biliar, tejido óseo, incluyendo en ocasiones la piel. Finalmente, la prevalencia de microsporidios en diferentes países varía entre 8% y 52%, siendo causante en nuestro medio de significativas alteraciones, sin conocerse datos de su frecuencia. El objetivo de esta revisión bibliográfica es dar a conocer los datos epidemiológicos que presenta el Encephalitozoon intestinalis en pacientes VIH positivo, que han desarrollado SIDA, con particularidad, síndrome diarreico crónico, destacando la gravedad del cuadro clínico que manifiestan estos pacientes. pudiendo generar daños irreversibles y letales, llevándolo hasta la muerte.

RESEARCH ARTICLE

Prevalence and associated risk factors of intestinal parasites among schoolchildren in Ecuador, with emphasis on the molecular diversity of Giardia duodenalis, Blastocystis sp. and Enterocytozoon bieneusi

Estephany Tapia-Veloz¹⁶, Mónica Gozalbo²⁶, Marisa Guillén², Alejandro Dashti³, Begoña Bailo³, Pamela C. Köster³, Mónica Santín⁴, David Carmena^{3,5}*, María Trelis₀^{1,6}*

Principal findings

At least one intestinal parasite species was observed by microscopy in 63.2% (235/372) of the participating schoolchildren. *Enterobius vermicularis* (16.7%, 62/372; 95% CI: 13.0–20.9) and *Blastocystis* sp. (39.2%, 146/372; 95% CI: 34.2–44.2) were the most prevalent among helminths and GP, respectively. Assemblages A (50.0%), B (37.5%) and A+B (12.5%) were detected within *Giardia duodenalis* and ST3 (28.6%), ST1 and ST2 (26.2% each), and ST4 (14.3%) within *Blastocystis* sp. Three genotypes, two known (A: 66.7%; KB-1: 16.7%) and a novel (HhEcEb1, 16.7%) were identified within *Enterocytozoon bieneusi*. Municipality of origin, household overcrowding, and poor sanitation and personal hygiene habits were risk factors for childhood intestinal parasites colonization.

Diagnóstico

Los microsporidios se observan mediante técnicas de tinción especiales, como la tinción de Calcoflúor, Ziehl-Neelsen Hematoxilina Eosina.

Muestras de tejido:

•Se pueden realizar biopsias de órganos afectados, como el intestino o la córnea.

Muestras de fluidos corporales:

•Heces, orina, líquido cefalorraquídeo, esputo o raspados corneales.

•Pruebas moleculares (PCR):

•La PCR para detectar ADN en tejido o fluidos corporales.

Coloración Hematoxilina Eosina

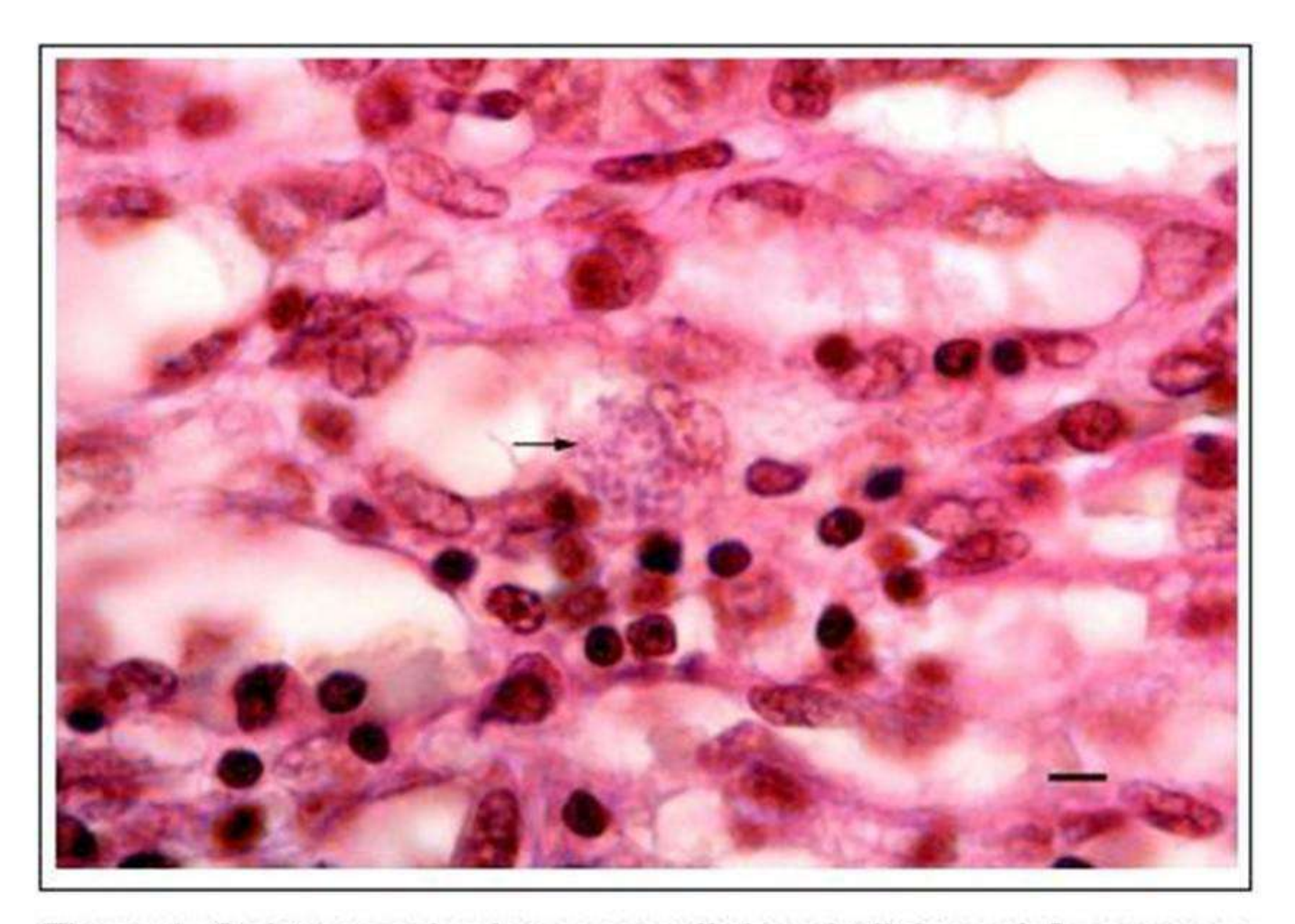
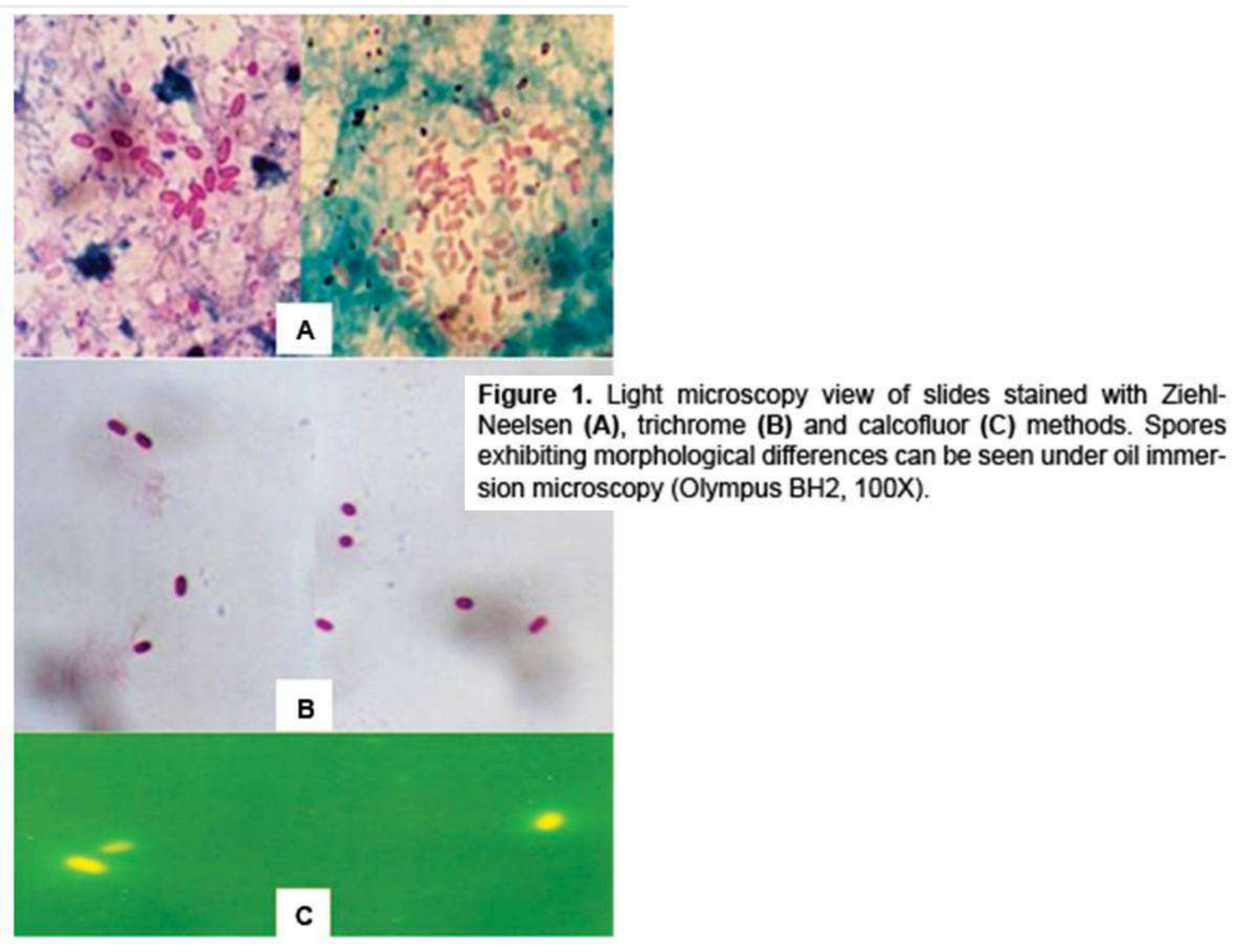


Figura 1. Quiste parasitario en una célula epitelial renal. Las esporas (flecha) se tiñen débilmente y lucen translucidas. H&E (100X).



PCR amplificación del ADN

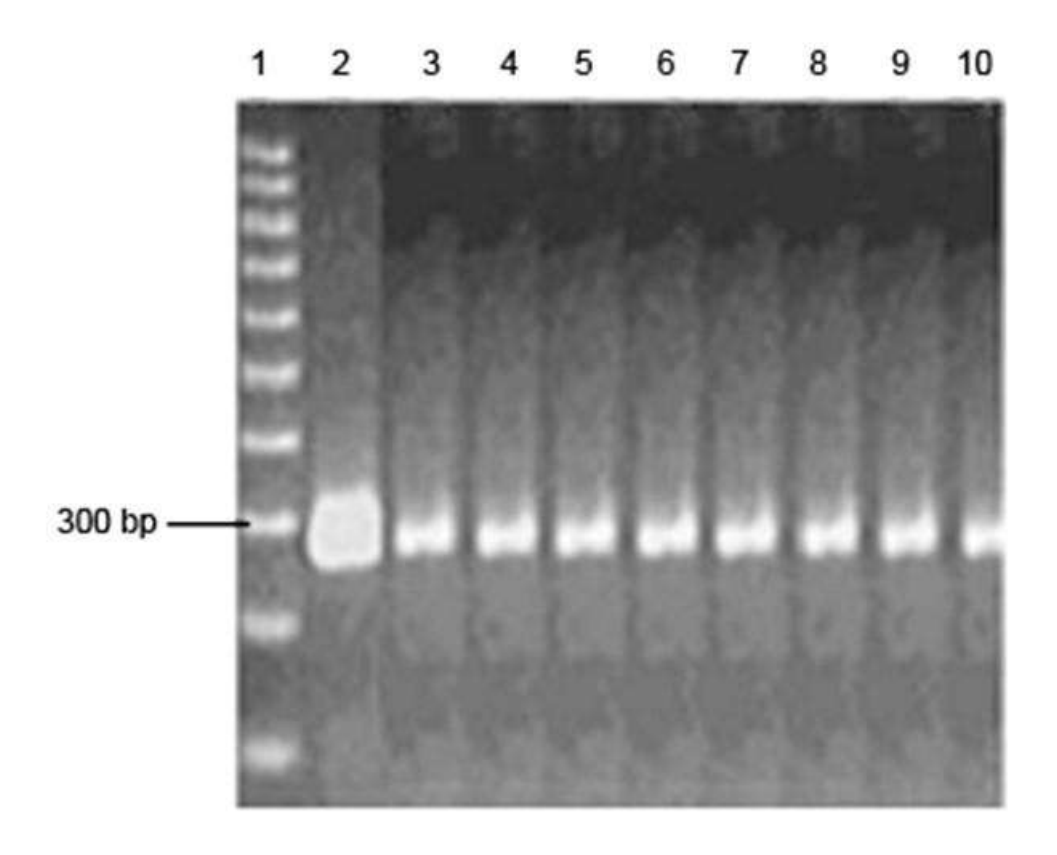


Figure 2. Agarose gel (1.5%) electrophoresis of PCR stained with ethidium bromide. Amplicons were run simultaneously with molecular weight (MW) 100-bp ladder (1); 300-bp band corresponding to *Microsporidium* spp control; (2) and amplification of *Microsporidium* present in feces from patients with diagnosis of acute lymphoblastic leukemia (3-10).

